



ระบบควบคุมรถไฟฟ้ากระแสดตรง  
DC VEHICLE CONTROL SYSTEM



โดย

นายฤทธิชัย สฤทธิศิริ  
นายขวัญชัย กงวัฒนานนท์  
นายชูเกียรติ สวามิภักดิ์  
นายภูวนารถ ชุนหปราน

วัน เดือน ปี	30.01.2551
เลขทะเบียน	038197
เลขเรียกหนังสือ	T.592.11.ค.249ง

ปริญญานิพนธ์นี้เป็นส่วนหนึ่งของการศึกษาตามหลักสูตรวิศวกรรมศาสตรบัณฑิต  
สาขาวิศวกรรมไฟฟ้า

สถาบันเทคโนโลยีพระจอมเกล้าเจ้าคุณทหารลาดกระบัง

เอกสารนี้เป็นเอกสารที่สงวนไว้สำหรับการใช้งานเพื่อการศึกษาเท่านั้น ไม่อนุญาตให้นำไปใช้ประโยชน์ด้านการค้า  
ปีการศึกษา 2539

ปีการศึกษา 2539  
ระบบควบคุมรถไฟฟ้ากระแสตรง  
DC VEHICLE CONTROL SYSTEM



อาจารย์ที่ปรึกษา

ผศ. ประภาส ไพรสุวรรณ

อ. อนุวัฒน์ งามวนิชเลิศ

เอกสารนี้เป็นเอกสารที่สงวนไว้สำหรับการใช้งานเพื่อการศึกษาเท่านั้น เมื่ออนุญาตให้นำไปใช้ประโยชน์ด้านการค้า  
ไม่ว่ากรณีใดๆ ทั้งสิ้น อีกทั้งห้ามมิให้ดัดแปลงเนื้อหา และต้องอ้างอิงถึงเจ้าของเอกสารทุกครั้งที่มีการนำไปใช้

ปริญญาานิพนธ์ปีการศึกษา 2539

ภาควิชาวิศวกรรมไฟฟ้า

คณะวิศวกรรมศาสตร์ สถาบันเทคโนโลยีพระจอมเกล้าเจ้าคุณทหารลาดกระบัง

เรื่อง ระบบควบคุมรถไฟฟ้ากระแสตรง

ผู้จัดทำ

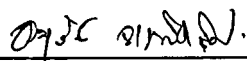


1. นายกฤษฎา สฤษฏีศิริ
2. นายขวัญชัย คงวัฒนานนท์
3. นายชูเกียรติ สวามิภักดิ์
4. นายภูวนารถ ชุณหปราณ



( ผศ. ประภาช ไพรสุวรรณ )

อาจารย์ที่ปรึกษา



( อ. อนุวัฒน์ จางวนิชเลิศ )

อาจารย์ที่ปรึกษา

เอกสารนี้เป็นเอกสารที่สงวนไว้สำหรับการใช้งานเพื่อการศึกษาเท่านั้น ไม่อนุญาตให้นำไปใช้ประโยชน์ด้านการค้า  
ไม่ว่ากรณีใดๆ ทั้งสิ้น อีกทั้งห้ามมิให้ตัดแปลงเนื้อหา และต้องอ้างอิงถึงเจ้าของเอกสารทุกครั้งที่มีการนำไปใช้

## ระบบควบคุมรถไฟฟ้ากระแสตรง

นายกฤษฎา สฤษดิ์ศิริ  
 นายขวัญชัย คงวัฒนานนท์  
 นายชูเกียรติ สวามิภักดิ์  
 นายภูวนารถ ชุมพรปราบ  
 ผศ.ประภาส ไพรสวรรณา อาจารย์ที่ปรึกษา  
 อ.อนุวัฒน์ จางวนิชเลิศ อาจารย์ที่ปรึกษา  
 ปีการศึกษา 2539

### บทคัดย่อ

ปริมาณนิพนธ์ฉบับนี้ได้แสดงถึงส่วนของระบบควบคุมความเร็วของมอเตอร์ในรถไฟฟ้ากระแสตรง โดยเลือกใช้วงจรควบคุมแรงดันกระแสตรงแบบลดแรงดัน โดยการปรับดิโอดีไอที่เกิดจากคั่นแรง และจะได้แสดงรายละเอียดของส่วนต่าง ๆ ที่ใช้ในวงจร ได้แก่ เพาเวอร์ทรานซิสเตอร์ที่ใช้เป็นสวิทซ์ในการควบคุมความเร็ว วงจรขับเพาเวอร์ทรานซิสเตอร์ วงจรกรองสัญญาณที่ประกอบด้วยตัวเหนี่ยวนำ ตัวเก็บประจุ รวมทั้งยังได้กล่าวถึงคุณสมบัติของมอเตอร์กระแสตรงและเบตเตอร์ที่ใช้ในรถไฟฟ้ากระแสตรงด้วย

DC VEHICLE CONTROL SYSTEM

Kritsada Saritsiri

Khuanchai Khongwattananon

Chukiat Sawamipak

Phuwanart Choonhapran

Asst.Prof.Prapart Prisuwana Advisor

Arnuwat Janwanitlerd Advisor

1996

ABSTACT

The purpose of this project shows the speed control system which is one of dc vehicle. We have chosen the buck circuit which control output voltage by adjusting duty cycle, which output voltage is lower than input voltage. Furthermore, we explain the details of parts of the circuit eg. power transistor, driver circuit and filter design that compose of inductor and capacitor. In addition we explain about how to adjust speed of DC motor and characteristics of battery.

## สารบัญ

	หน้า
บทคัดย่อ	I
ABSTRACT	II
สารบัญรูป	III
สารบัญตาราง	VI
บทที่ 1 บทนำ	1
บทที่ 2 ทฤษฎีของวงจรคอนเวอร์เตอร์	2
2.1 บทนำ	2
2.2 ชนิดของวงจรปรับแรงดันไฟฟ้ากระแสตรง	2
2.3 วงจรปรับแรงดันไฟฟ้าแบบลดแรงดัน	3
2.4 ความสัมพันธ์ระหว่างแรงดันของวงจรลดแรงดัน	3
2.5 วงจรปรับแรงดันแบบเพิ่มแรงดัน	7
2.6 วงจรปรับแรงดันแบบลดและเพิ่มแรงดัน	10
2.7 วงจรปรับแรงดันแบบลดแรงดันเมื่อใช้ทรานซิสเตอร์เป็นสวิทช์	14
บทที่ 3 เพาเวอร์ทรานซิสเตอร์	16
3.1 อุปกรณ์ที่ใช้ในการสวิทช์	16
3.2 เพาเวอร์ทรานซิสเตอร์	20
3.3 การนำทรานซิสเตอร์มาใช้ในงานลักษณะสวิทช์	27
3.4 ทรานซิสเตอร์คาร์ลิงตัน	34
บทที่ 4 วงจรควบคุม	36
4.1 วงจรควบคุม	36
4.2 วงจรกำเนิดพัลส์สี่เหลี่ยมปรับควิตีไซเคิลได้	36
4.3 วงจรขับเบส	39
บทที่ 5 การคำนวณค่าตัวเหนี่ยวนำและตัวเก็บประจุ	41
5.1 การคำนวณค่าตัวเหนี่ยวนำ	41
5.2 การคำนวณค่าตัวเก็บประจุ	41
5.3 การออกแบบตัวเหนี่ยวนำ	42
บทที่ 6 การควบคุมความเร็วมอเตอร์ไฟฟ้ากระแสตรง	49
6.1 การควบคุมแรงดันอาเมเจอร์	49

เอกสารนี้เป็นเอกสารที่สงวนไว้สำหรับการใช้งานเพื่อการศึกษาเท่านั้น ไม่อนุญาตให้นำไปใช้ประโยชน์ด้านการค้า  
ไม่ว่ากรณีใดๆ ทั้งสิ้น อีกทั้งห้ามมิให้ดัดแปลงเนื้อหา และต้องอ้างอิงถึงเจ้าของเอกสารทุกครั้งที่มีการนำไปใช้

## สารบัญรูป

	หน้า
รูปที่ 2.1 แสดงรูปวงจรถวมแรงดันพื้นฐาน	2
รูปที่ 2.2 วงจรปรับแรงดันพื้นฐานแบบลดแรงดัน	3
รูปที่ 2.3 สวิตช์ขณะเปิดวงจรของวงจรถดแรงดัน	4
รูปที่ 2.4 สวิตช์ขณะเปิดวงจรของวงจรถดแรงดัน	4
รูปที่ 2.5 กราฟความสัมพันธ์ระหว่างกระแสและแรงดันกับเวลาของวงจรถดแรงดัน	6
รูปที่ 2.6 วงจรปรับแรงดันแบบเพิ่มแรงดัน	7
รูปที่ 2.7 สวิตช์ขณะเปิดวงจรของวงจรเพิ่มแรงดัน	8
รูปที่ 2.8 กราฟแสดงลักษณะกระแสที่ไหลผ่านตัวเหนี่ยวนำ	9
รูปที่ 2.9 กราฟความสัมพันธ์ระหว่างกระแสกับเวลาของวงจรเพิ่มแรงดัน	10
รูปที่ 2.10 วงจรปรับแรงดันแบบลดและเพิ่มแรงดัน	11
รูปที่ 2.11 เมื่อสวิตช์ปิดวงจร	11
รูปที่ 2.12 เมื่อสวิตช์เปิดวงจร	12
รูปที่ 2.13 กราฟความสัมพันธ์ระหว่างกระแสกับเวลาของวงจรถดและเพิ่มแรงดัน	13
รูปที่ 2.14 วงจรปรับแรงดันแบบลดแรงดัน โดยใช้ทรานซิสเตอร์เป็นสวิตช์	15
รูปที่ 3.1 กำลังสูญเสียและความถี่ที่ใช้งานในการสวิตช์ของอุปกรณ์ต่าง ๆ	17
รูปที่ 3.2 แสดงความสัมพันธ์ระหว่างขนาดของกำลังและขนาดของพื้นที่ของชิพของอุปกรณ์ต่างๆ	18
รูปที่ 3.3 แสดงความสัมพันธ์ระหว่างขนาดของกำลังและช่วงความถี่ที่ใช้งานของอุปกรณ์ต่างๆ	18
รูปที่ 3.4 แสดงสัญลักษณ์ของไบโพลาร์ทรานซิสเตอร์	20
รูปที่ 3.5 แสดงคุณสมบัติของทรานซิสเตอร์แบบเอ็นพีเอ็น	21
รูปที่ 3.6 คุณสมบัติในการเปลี่ยนแปลง	22
รูปที่ 3.7 แสดงลักษณะของทรานซิสเตอร์แบบเอ็นพีเอ็น	22
รูปที่ 3.8 พื้นที่ใช้งานพลอคภัยฟอร์เวอร์สไบฮัส	26
รูปที่ 3.9 พื้นที่ใช้งานพลอคภัยรีเวอร์สไบฮัส	26
รูปที่ 3.10 การทำงานเป็นสวิตช์ของเพาเวอร์ทรานซิสเตอร์	28
รูปที่ 3.11 กราฟลักษณะสมบัติของทรานซิสเตอร์	29
รูปที่ 3.12 แสดงลักษณะของไบโพลาร์จังก์ชันทรานซิสเตอร์ขณะสภาวะทรานเซียนท์	32

เอกสารนี้เป็นเอกสารที่สงวนไว้สำหรับการใช้งานเพื่อการศึกษาเท่านั้น ไม่อนุญาตให้นำไปใช้ประโยชน์ด้านการค้า  
ไม่ว่ากรณีใดๆ ทั้งสิ้น อีกทั้งห้ามมิให้ตัดแปลงเนื้อหา และต้องอ้างอิงถึงเจ้าของเอกสารทุกครั้งที่มีการนำไปใช้

## สารบัญรูป

	หน้า
รูปที่ 8.12 แสดงการทดสอบวงจรกับโพลน้ำเกลือ	65
รูปที่ 8.13 ลักษณะของสัญญาณคร่อมขาคอลเลกเตอร์-อิมิตเตอร์ และเบส-อิมิตเตอร์ เมื่อเหยียบคัมแรงน้อย	66
รูปที่ 8.14 ลักษณะของสัญญาณคร่อมขาคอลเลกเตอร์-อิมิตเตอร์ และเบส-อิมิตเตอร์ เมื่อเหยียบคัมแรงมาก	66



## สารบัญตาราง

	หน้า
ตาราง 3.1 เปรียบเทียบคุณสมบัติของอุปกรณ์ต่าง ๆ	16
ตาราง 3.2 เปรียบเทียบคุณสมบัติของทรานซิสเตอร์กับจีทีไอ	19
ตาราง 5.1 ค่าความหนาแน่นของสนามแม่เหล็กสูงสุดของแกน	42
ตาราง 5.2 แสดงค่าสัมประสิทธิ์ของแกนแบบต่าง ๆ	44
ตาราง 7.1 เปรียบเทียบขนาดความจุของแบตเตอรี่ชนิด ตะกั่ว-กรด ที่อุณหภูมิปกติและต่ำกว่าปกติ	55
ตาราง 8.1 ผลการทดสอบวงจรกับ โหลดน้ำเกลือ	64
ตาราง 8.2 ผลการทดสอบวงจรกับรตไฟฟ้า	68



## บทที่ 1

## บทนำ

## 1.1 ความเป็นมาและวัตถุประสงค์ของโครงการ

เนื่องจากปัจจุบันนี้ได้รถยนต์ได้ใช้น้ำมันเป็นแหล่งพลังงานหลัก ซึ่งทำให้เกิดควันพิษจากไอเสียของรถยนต์ซึ่งนับวันจะมีปริมาณของรถยนต์เพิ่มขึ้นมาก ซึ่งเป็นอันตรายต่อสภาพแวดล้อม ดังนั้นจึงได้ทำการศึกษาถึงการทำงานของรถยนต์ที่ใช้ไฟฟ้าเป็นแหล่งพลังงาน โดยได้ศึกษาถึงระบบควบคุมของรถไฟฟ้า ซึ่งในขั้นต้นแรกได้ศึกษาถึงรถไฟฟ้าซึ่งใช้ไฟกระแสตรง เพราะว่าสามารถเก็บพลังงานไฟฟ้าในรูปของแบตเตอรี่ได้ และนอกจากนั้นรถไฟฟ้ายังสามารถควบคุมได้ง่าย มีการบำรุงรักษาน้อย การออกแบบมักจะออกแบบให้รถมีขนาดเล็กกะทัดรัด น้ำหนักเบาซึ่งเหมาะสมอย่างยิ่งสำหรับการใช้งานในเมือง

ในการทำโครงการนี้ ได้ศึกษาถึงระบบควบคุมรถไฟฟ้ากระแสตรงเพื่อนำไปใช้ในรถไฟฟ้าได้อย่างมีประสิทธิภาพ

## 1.2 ขอบเขตของโครงการ

โครงการนี้ได้ศึกษาถึงระบบควบคุมมอเตอร์ไฟฟ้ากระแสตรง ซึ่งเป็นส่วนที่ใช้ในการขับเคลื่อนรถไฟฟ้า โดยใช้วงจรถอปเปอร์มาควบคุม วงจรถอปเปอร์เป็นวงจรที่ใช้เปลี่ยนระดับแรงดันไฟฟ้าทางด้านอินพุต จากแหล่งกำเนิดไฟฟ้ากระแสตรง ให้ได้ระดับแรงดันทางด้านเอาต์พุต เพราะการควบคุมแรงดันไฟฟ้าของมอเตอร์กระแสตรง คือ การควบคุมความเร็วของรถไฟฟ้า สำหรับวงจรถอปเปอร์ที่ใช้ จะใช้วงจรปรับแรงดันแบบลดแรงดัน ซึ่งใช้ทรานซิสเตอร์กำลังเป็นอุปกรณ์ในการสวิตซ์ซึ่ง โดยทำหน้าที่เป็นตัวควบคุมแรงดัน โดยการเปลี่ยนค่าดิวตี้ไซเคิล ซึ่งคือช่วงเวลาที่ยานซิสเตอร์นำกระแสต่อช่วงเวลาทั้งหมดที่ยานซิสเตอร์นำและหยุดนำกระแส โดยในการควบคุมให้ทรานซิสเตอร์กำลังนำ และหยุดนำกระแสจะมีวงจรถอปเปอร์กำเนิดดิวตี้ไซเคิลและวงจรถอบเบส เพื่อควบคุมทรานซิสเตอร์ โดยแหล่งพลังงานที่ใช้จะใช้แบตเตอรี่เป็นแหล่งจ่ายไฟกระแสตรง นอกจากนั้นยังได้กล่าวถึงอุปกรณ์ประกอบที่สำคัญอีกคือ ตัวเหนี่ยวนำ และคาปาซิเตอร์ ซึ่งทำให้ระดับแรงดันที่มอเตอร์กระแสตรงที่ได้จากการสวิตซ์ซึ่งต่อเนื่องและเรียบยิ่งขึ้น และยังได้มีส่วนที่ใช้ป้องกันคือใช้ฟิวส์ และยังมีส่วนควบคุมป้อนกลับ เพื่อใช้ป้องกันมอเตอร์ในสถานะที่มีกระแสเกินพิกัด โดยสัญญาณที่ป้อนกลับจะนำมาควบคุมดิวตี้ไซเคิล โดยในขณะที่กระแสเกิน ดิวตี้ไซเคิลจะเป็นศูนย์ซึ่งก็คือการตัดวงจรออกจากแบตเตอรี่

## บทที่ 2

### ทฤษฎีของวงจรคอนเวอร์เตอร์ พื้นฐานของวงจรปรับแรงดันไฟฟ้ากระแสตรง

#### 2.1 บทนำ

วงจรปรับแรงดันไฟฟ้ากระแสตรง ( DC-DC CONVERTER หรือ CHOPPERS ) คือวงจรไฟฟ้าที่ทำหน้าที่เปลี่ยนแรงดันไฟฟ้ากระแสตรงที่ป้อนให้กับวงจรทางด้านอินพุต ให้ได้ระดับแรงดันทางด้านเอาต์พุตตามที่ต้องการ ซึ่งจะขึ้นอยู่กับชนิดของวงจรชอปเปอร์



$E_1$  : ระดับแรงดันไฟฟ้ากระแสตรงที่ป้อนให้วงจร  
 $E_2$  : ระดับแรงดันไฟฟ้ากระแสตรงทางด้านเอาต์พุต  
 รูปที่ 2.1 แสดงรูปวงจรควบคุมแรงดันพื้นฐาน

#### 2.2 ชนิดของวงจรปรับแรงดันไฟฟ้ากระแสตรง

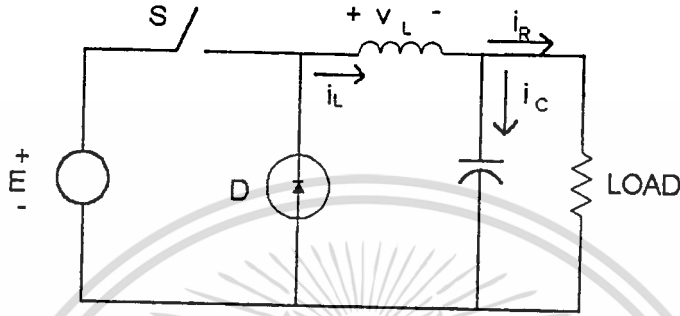
วงจรปรับแรงดันไฟฟ้ากระแสตรงสามารถจำแนกได้ตามความสัมพันธ์ของระดับแรงดันทางด้านอินพุตและแรงดันทางด้านเอาต์พุต ซึ่งสามารถจำแนกออกได้เป็น 3 แบบ ดังนี้

1. วงจรลดแรงดัน ( Buck Circuit ) คือ วงจรที่ทำหน้าที่ปรับระดับแรงดันไฟฟ้าทางด้านอินพุต ให้ได้ระดับแรงดันทางด้านเอาต์พุต ซึ่งมีระดับแรงดันต่ำกว่าระดับแรงดันทางด้านอินพุต
2. วงจรเพิ่มแรงดัน ( Boost Circuit ) คือ วงจรที่ทำหน้าที่ปรับระดับแรงดันไฟฟ้าทางด้านอินพุต ให้ได้ระดับแรงดันทางด้านเอาต์พุต ซึ่งมีระดับแรงดันสูงกว่าระดับแรงดันทางด้านอินพุต
3. วงจรลดและเพิ่มแรงดัน ( Buck - Boost Circuit ) คือ วงจรที่ทำหน้าที่ปรับระดับแรงดันทางด้านอินพุต ให้ได้ระดับแรงดันทางด้านเอาต์พุต ซึ่งมีระดับแรงดันต่ำหรือสูงกว่าระดับแรงดันทางด้านอินพุต

เอกสารนี้เป็นเอกสารที่สงวนไว้สำหรับการใช้งานเพื่อการศึกษาเท่านั้น ไม่อนุญาตให้นำไปใช้ประโยชน์ด้านการค้า ไม่ว่าจะกรณีใดๆ ทั้งสิ้น อีกทั้งห้ามมิให้ดัดแปลงเนื้อหา และต้องอ้างอิงถึงเจ้าของเอกสารทุกครั้งที่มีการนำไปใช้

สำหรับวงจรที่จะศึกษาเพื่อนำมาควบคุมความเร็วของมอเตอร์กระแสตรงคือ วงจรลดแรงดัน ซึ่งมีหลักการพื้นฐานดังต่อไปนี้

### 2.3 วงจรปรับแรงดันไฟฟ้าแบบลดแรงดัน



รูปที่ 2.2 วงจรปรับแรงดันพื้นฐานแบบลดแรงดัน

E : ระดับแรงดันด้านอินพุต	$i_d$ : กระแสที่ไหลผ่านไดโอด
S : สวิตช์	$i_L$ : กระแสที่ไหลผ่านตัวเหนี่ยวนำ
D : ไดโอด	$i_R$ : กระแสที่ไหลผ่านตัวต้านทาน
C : ตัวเก็บประจุ	$V_L$ : แรงดันคร่อมตัวเหนี่ยวนำ
L : ตัวเหนี่ยวนำ	$V_C$ : แรงดันคร่อมตัวเก็บประจุ
R : ตัวต้านทาน	

จากวงจรที่แสดงในรูปที่ 2.2 ตัวเหนี่ยวนำและตัวเก็บประจุในวงจรลดแรงดัน จะทำให้กระแสที่ไหลออกทางด้านเอาต์พุตมีความต่อเนื่องและเรียบยิ่งขึ้น และยังทำหน้าที่กำจัดริบเบิลของวงจรอีกด้วย

### 2.4 ความสัมพันธ์ระหว่างแรงดัน ( Voltage Relation ) ของวงจรลดแรงดัน

จากรูปที่ 2.2 ในการปรับระดับแรงดันทางด้านเอาต์พุต  $V_C$  นั้นสวิตช์ S จะถูกเปิดและปิดเป็นจังหวะ โดยที่มีคาบเวลาของการเปิด- ปิด เท่ากับ T และกำหนดให้อัตราส่วนของช่วงเวลาที่สวิตช์ S ปิดต่อช่วงเวลาที่สวิตช์เปิดมีค่าเท่ากับ D ซึ่งเรียกว่าคิวตี้ไซเคิล ( Duty cycle) ดังนั้นช่วงเวลาที่สวิตช์ปิดวงจรมีค่าเท่ากับ DT ช่วงเวลาที่สวิตช์เปิดมีค่าเท่ากับ  $(1-D)T$  สำหรับวงจรในรูปที่ 2.2 จะพิจารณาให้ตัวเก็บประจุมีค่ามากพอคั้งนั้นเราจะไม่พิจารณาถึงค่าริบเบิลและถือว่าแรงดันคร่อมตัวเก็บประจุมีค่าคงที่ ( $V_C$ ) นั้น ไม่นิยามให้นำไปใช้ประโยชน์ด้านการค้า

ไม่ว่ากรณีใดๆ ทั้งสิ้น อีกทั้งห้ามมิให้ตัดแปลงเนื้อหา และต้องอ้างอิงถึงเจ้าของเอกสารทุกครั้งที่มีการนำไปใช้

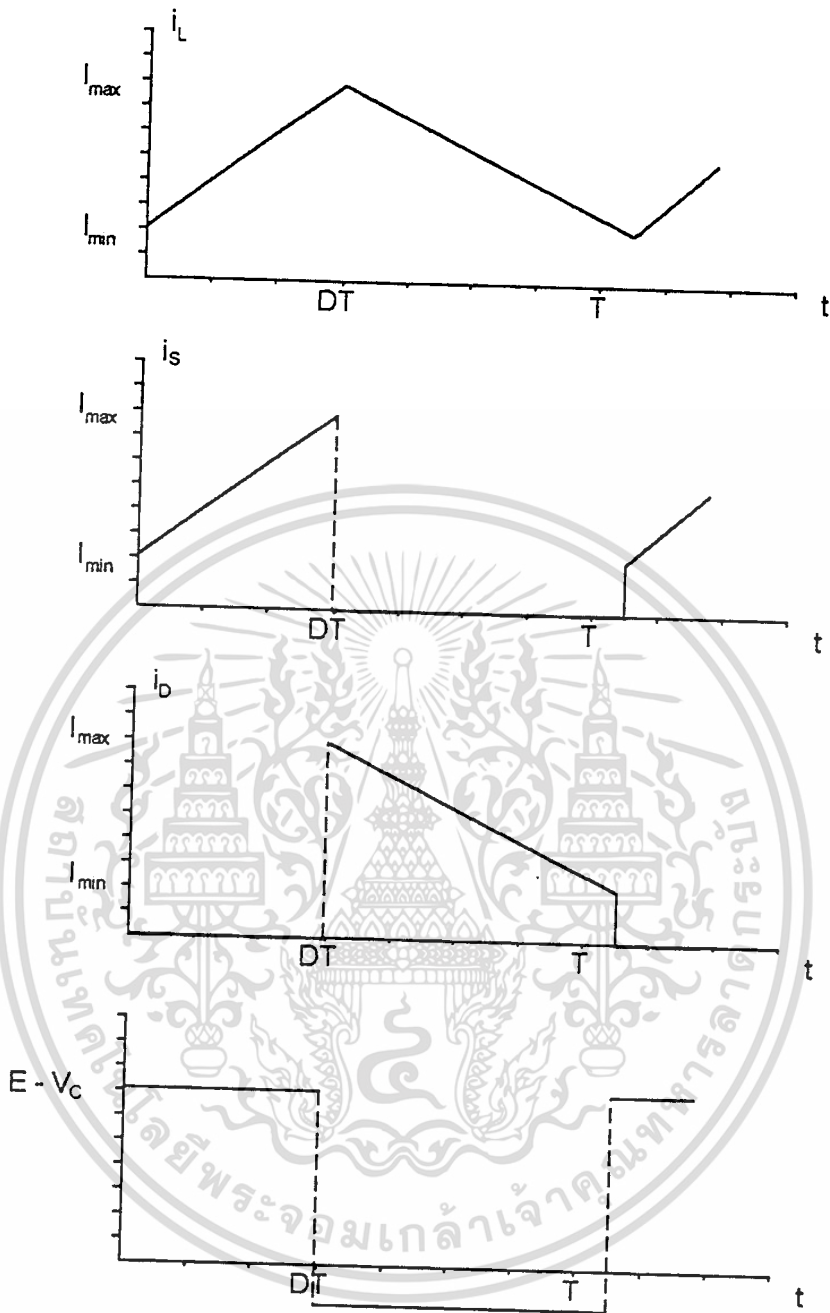
$$0 = L \frac{di_L}{dt} + V_C$$

$$\frac{di_L}{dt} = -\frac{V_C}{L}$$

ทั้งช่วงที่มีการเปิดและปิดวงจร เราจะพิจารณาลักษณะของกระแสเมื่อเทียบกับเวลา ช่วงที่มีการปิดวงจร (DT) กระแสที่ไหลผ่านตัวเหนี่ยวนำ ( $i_L$ ) จะค่อย ๆ เพิ่มขึ้นโดยมีความชันคงที่ โดยเราจะพิจารณาให้ค่ากระแสเริ่มต้นมีค่าเท่ากับ  $I_{\min}$  และเพิ่มขึ้นจนถึงค่า  $I_{\max}$  ซึ่งเป็นจังหวะที่ สวิตช์ถูกเปิด

ช่วงที่สวิตช์ถูกเปิด กระแสที่ไหลผ่านตัวเหนี่ยวนำยังคงไหลในทิศทางเดิมแต่มีค่าน้อยลงเรื่อย ๆ จากค่า  $I_{\max}$  จนถึงค่า  $I_{\min}$  ซึ่งพิจารณาจากกราฟรูปที่ 2.5 ดังนี้





รูปที่ 2.5 กราฟความสัมพันธ์ระหว่างกระแสและแรงดันกับเวลาของวงจรลดแรงดัน

ช่วงเวลาที่สวิตช์ถูกปิด กระแสที่ไหลผ่านตัวเหนี่ยวนำเพิ่มขึ้นจาก  $I_{\min}$  จนถึง  $I_{\max}$  และช่วงที่เปิดวงจร กระแสลดลงจาก  $I_{\max}$  จนถึง  $I_{\min}$  ทั้งช่วงเปิดและปิดวงจรมีค่าเท่ากันเพราะมีการเปิด-ปิดเป็นจังหวะในแต่ละคาบเวลา ซึ่งอาจมากกว่าหรือเท่ากับศูนย์ สำหรับวงจรที่พิจารณาเรา

เอกสารนี้เป็นเอกสารที่สงวนไว้สำหรับการใช้งานเพื่อการศึกษาเท่านั้น ไม่อนุญาตให้นำไปใช้ประโยชน์ด้านการค้า ไม่ว่ากรณีใดๆ ทั้งสิ้น อีกทั้งห้ามมิให้ดัดแปลงเนื้อหา และต้องอ้างอิงถึงเจ้าของเอกสารทุกครั้งที่มีการนำไปใช้

พิจารณาให้กระแสที่ไหลผ่านตัวเหนี่ยวนำเป็นกระแสที่ไหลต่อเนื่อง จากสมการที่พิจารณาจะได้ว่า

$$I_{\max} - I_{\min} = \frac{(E - V_c)DT}{L}$$

$$I_{\max} - I_{\min} = \frac{-V_c(1-DT)}{L}$$

$$\frac{(E - V_c)DT}{L} = \frac{V_c(1-DT)}{L}$$

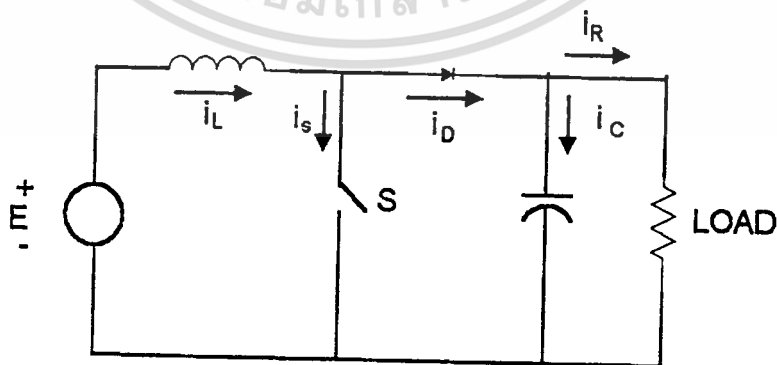
$$(E - V_c)D = V_c(1-D)$$

$$V_c = DE$$

จะเห็นได้ว่าแรงดันที่ตกคร่อมคาปาซิเตอร์ ( $V_c$ ) ซึ่งก็คือแรงดันเอาต์พุตจากวงจรปรับแรงดันกระแสตรงแบบลดแรงดัน ขึ้นอยู่กับอัตราส่วนของคาบเวลาในการเปิด-ปิดสวิตช์ ดังนั้นเราสามารถปรับระดับแรงดันทางด้านเอาต์พุตได้ โดยที่แรงดันเอาต์พุตกระแสตรงของวงจรปรับแรงดันกระแสตรงแบบลดแรงดัน จะมีระดับแรงดันที่ต่ำกว่าระดับแรงดันกระแสตรงทางด้านอินพุต

## 2.5 วงจรปรับแรงดันแบบเพิ่มแรงดัน

วงจรปรับแรงดันแบบเพิ่มแรงดัน มีวงจรพื้นฐานดังนี้



รูปที่ 2.6 วงจรปรับแรงดันแบบเพิ่มแรงดัน

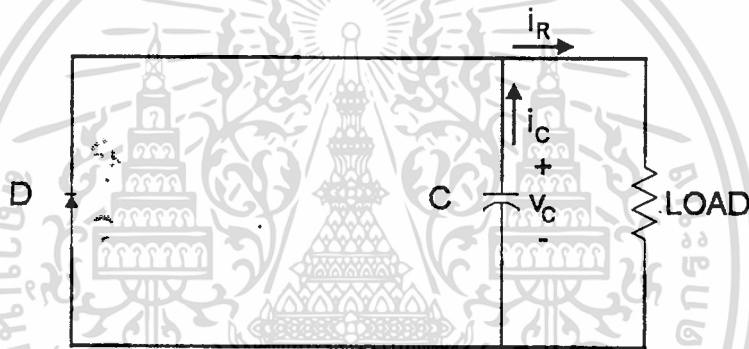
พิจารณาความสัมพันธ์ระหว่างแรงดันช่วงที่สวิตช์ปิด กระแสที่ไหลผ่านตัวเหนี่ยวนำจะค่อย ๆ เพิ่มขึ้นในอัตราคงที่ดังสมการ  
ไม่ว่ากรณีใดๆ ทั้งสิ้น อีกทั้งห้ามมิให้ตนแปลงเนื้อหา และต้องอ้างอิงถึงเจ้าของเอกสารทุกครั้งที่มีการนำไปใช้

$$E = V_L$$

$$E = \frac{L di_L}{dt}$$

$$\frac{di_L}{dt} = \frac{E}{L}$$

ซึ่งช่วงที่สวิตช์ปิด ไดโอดจะถูกรีเวอร์สไบแอสและตัวเก็บประจุ จะจ่ายกระแสไปยังโหลด โดยทิศทางของกระแส  $i_C$  จะไหลสู่โหลดความต้านทานช่วงที่สวิตช์ปิด วงจรจะมีลักษณะดังนี้



รูปที่ 2.7 สวิตช์ขณะปิดของวงจรเพิ่มแรงดัน

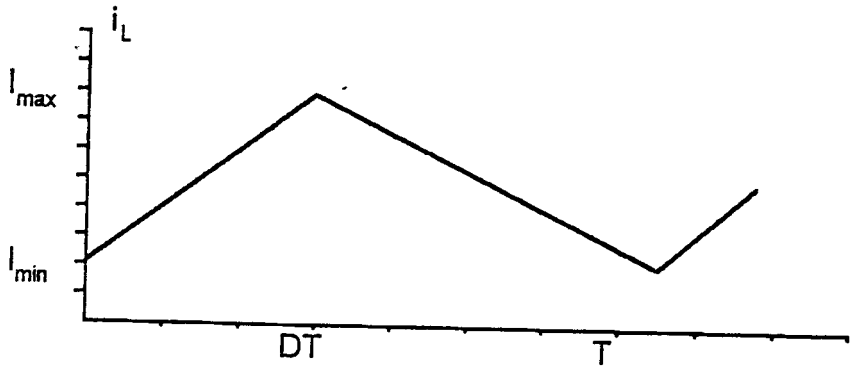
เมื่อทำการเปิดสวิตช์ กระแสที่ไหลผ่านตัวเหนี่ยวนำ จะลดลงในอัตราส่วนคงที่จนมาถึงค่า  $I_{min}$  ขณะที่สวิตช์ถูกปิดเพราะว่าสวิตช์มีการเปิด-ปิด เป็นจังหวะที่สม่ำเสมอภายในช่วงคาบเวลา เมื่อกระแสที่ไหลผ่านตัวเหนี่ยวนำมีค่าลดลง แรงดันคร่อมตัวเก็บประจุจะมากกว่าแรงดันทางด้านอินพุต ดังนั้นเมื่อเปิดสวิตช์ จะได้ความสัมพันธ์ดังนี้

$$E = V_L + V_C$$

$$E = \frac{L di_L}{dt} + V_C$$

$$\frac{di_L}{dt} = \frac{E - V_C}{L}$$

เอกสาร พิจารณาลักษณะกระแสของตัวเหนี่ยวนำ ดังรูปที่ 2.8 เท่านั้น ไม่อนุญาตให้นำไปใช้ประโยชน์ด้านการค้า  
ไม่ว่ากรณีใดๆ ทั้งสิ้น อีกทั้งห้ามมิให้ดัดแปลงเนื้อหา และต้องอ้างอิงถึงเจ้าของเอกสารทุกครั้งที่มีการนำไปใช้



รูปที่ 2.8 กราฟแสดงลักษณะของกระแสที่ไหลผ่านตัวเหนี่ยวนำ

ช่วงระหว่าง  $I_{max}$  กับ  $I_{min}$  ในขณะที่สวิตช์ปิดกระแสที่ไหลผ่านตัวเหนี่ยวนำเพิ่มขึ้นจาก  $I_{min}$  จนถึง  $I_{max}$  ในอัตราคงที่มีค่าเท่ากับช่วงระหว่าง  $I_{max}$  จนถึง  $I_{min}$  เมื่อสวิตช์เปิดวงจร ซึ่งกระแสที่ไหลผ่านตัวเหนี่ยวนำจะลดลงจาก  $I_{max}$  จนถึง  $I_{min}$  จะได้ว่า

$$I_{max} - I_{min} = \frac{(E)DT}{L}$$

$$I_{max} - I_{min} = \frac{(E - V_c)(1-D)T}{L}$$

$$\frac{(E)DT}{L} = \frac{(E - V_c)(1-D)T}{L}$$

$$ED = (V_c - E)(1-D)$$

$$ED = V_c - V_c D - E + ED$$

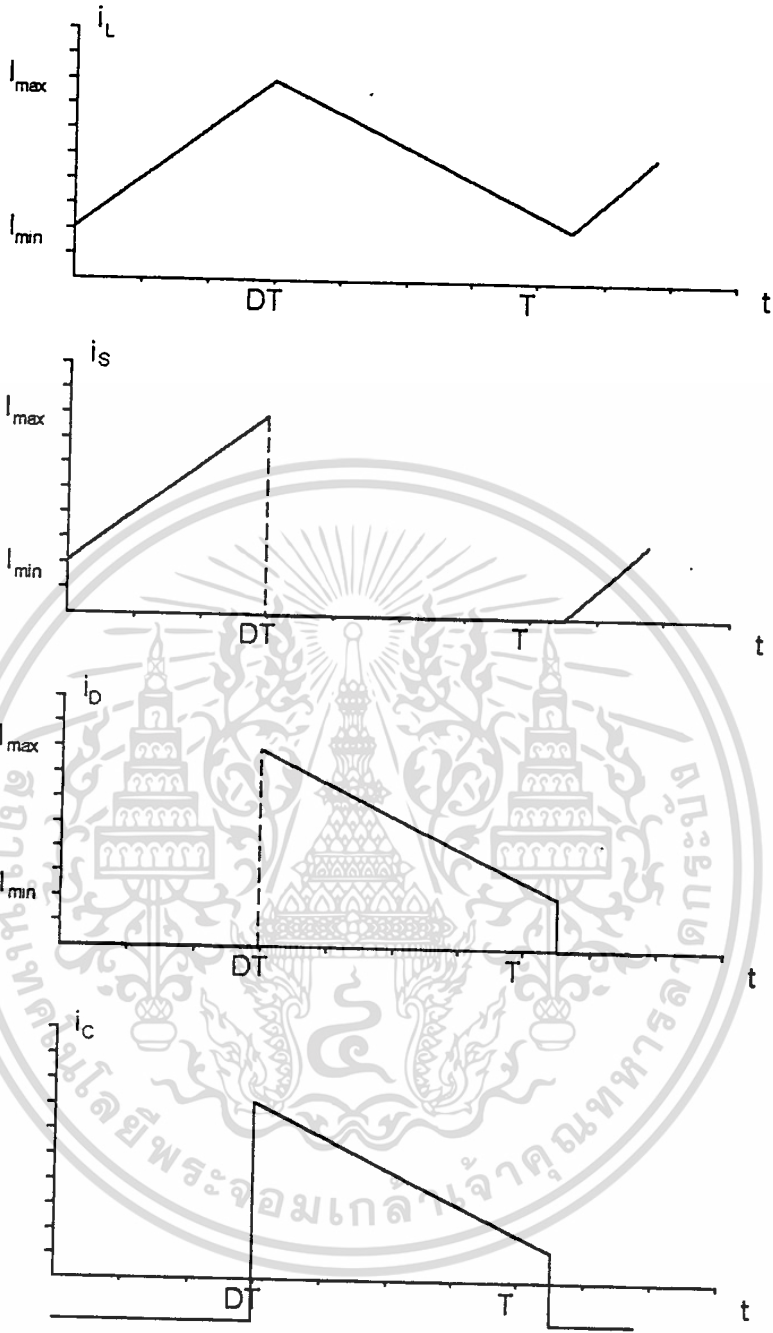
$$E = V_c (1-D)$$

$$V_c = \frac{E}{1-D}$$

ซึ่งจะเห็นได้ว่าระดับแรงดันทางด้านเอาต์พุต จะมีค่ามากกว่าระดับแรงดันทางด้านอินพุต ซึ่งเป็นลักษณะของวงจรบัพเปอร์และจากสมการจะเห็นว่าระดับแรงดันด้านเอาต์พุตจะขึ้นอยู่กับค่าคิวตี้ไจเคลซึ่งเป็นอัตราส่วนระหว่างช่วงเวลาที่ยสวิตช์เปิด-ปิด จากสมการยังพบว่าถ้าคิวตี้ไจเคลมีค่าเท่ากับ 1 จะได้แรงดันทางด้านเอาต์พุตมีค่าเป็นอนันต์ แต่ในความเป็นจริงแล้ว ระดับแรงดันทางด้านเอาต์พุตเป็นค่าที่จำกัดอยู่ที่ระดับแรงดันระดับหนึ่ง

พิจารณาลักษณะของกระแสที่ไหลในอุปกรณ์ต่าง ๆ ในวงจร ดังกราฟรูปที่ 2.9

เอกสารนี้เป็นเอกสารที่สงวนไว้สำหรับการใช้งานเพื่อการศึกษาเท่านั้น ไม่อนุญาตให้นำไปใช้ประโยชน์ด้านการค้า ไม่ว่าจะกรณีใดๆ ทั้งสิ้น อีกทั้งห้ามมิให้ดัดแปลงเนื้อหา และต้องอ้างอิงถึงเจ้าของเอกสารทุกครั้งที่มีการนำไปใช้



รูปที่ 2.9 กราฟความสัมพันธ์ระหว่างกระแสกับเวลาของวงจรเพิ่มแรงดัน

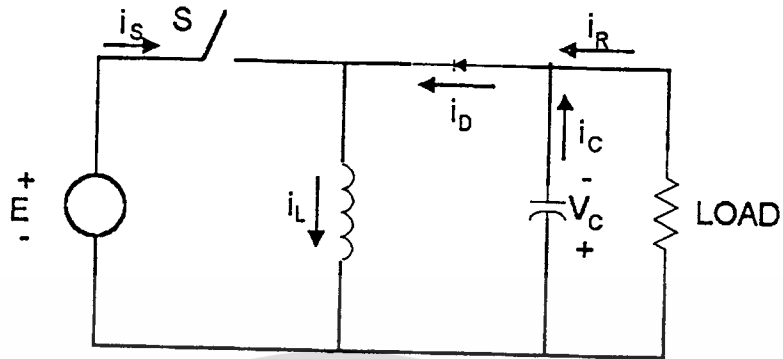
2.6 วงจรปรับแรงดันแบบลดและเพิ่มแรงดัน

วงจรปรับแรงดันแบบลดและเพิ่มแรงดัน เป็นวงจรซึ่งทำหน้าที่ปรับระดับแรงดันที่ป้อนให้ทางค่านินพุต เป็นระดับแรงดันค่าใหม่ ซึ่งสามารถปรับระดับแรงดันทางค่านเอาต์พุตให้น้อยกว่าหรือมากกว่า แรงดันที่ป้อนให้กับวงจรทางค่านินพุต และแรงดันที่ได้ทางค่านเอาต์พุต จะมีขีดตรงข้ามกับแรงดันทางค่านินพุต

เอกสารนี้เป็นเอกสารที่สงวนไว้สำหรับการใช้งานเพื่อการศึกษาเท่านั้น ไม่อนุญาตให้นำไปใช้ประโยชน์ด้านการค้า

ไม่ว่ากรณีใดๆ ทั้งสิ้น อีกทั้งห้ามมิให้ตัดแปลงเนื้อหา และต้องอ้างอิงถึงเจ้าของเอกสารทุกครั้งที่มีการนำไปใช้

วงจรลดและเพิ่มแรงดันมีวงจรพื้นฐานดังนี้

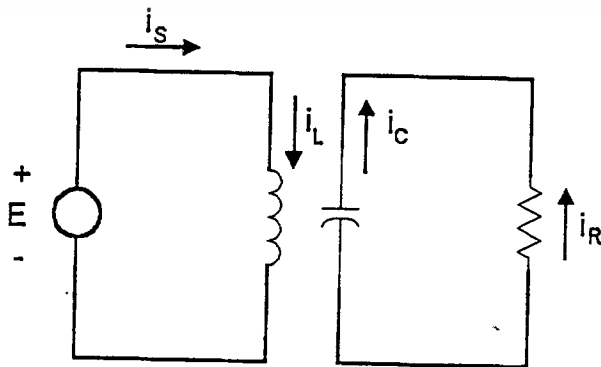


รูปที่ 2.10 วงจรปรับแรงดันแบบลดและเพิ่มแรงดัน

สวิตช์จะถูกปิด - เปิด ในคาบเวลา โดยมีการปิด-เปิด เป็นจังหวะต่อเนื่องกันไปช่วงเวลาที่สวิตช์ปิดเท่ากับ  $DT$  ดังนั้นช่วงเวลานี้สวิตช์จะเปิดวงจรเท่ากับ  $(1-D)T$  สำหรับวงจรลดและเพิ่มแรงดันนี้ เรากำหนดให้ค่าตัวเก็บประจุมีค่ามากเพียงพอ ดังนั้นเราจะไม่พิจารณาการปัดเป่า ดังนั้นจึงถือว่าระดับแรงดัน ที่คร่อมตัวเก็บประจุ ซึ่งก็คือ ระดับแรงดันทางค่านเอาท์พุทมีระดับแรงดันคงที่เท่ากับระดับแรงดันที่คร่อมตัวเก็บประจุ

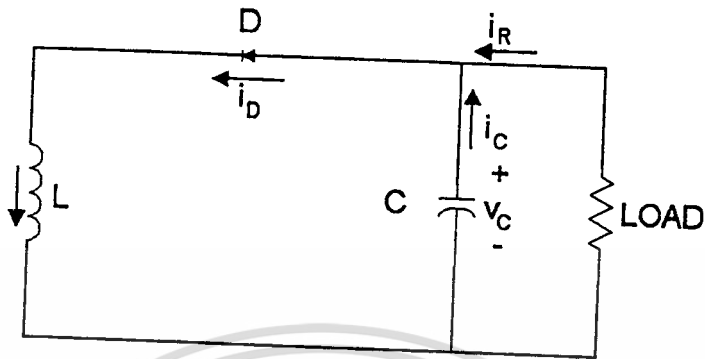
ความสัมพันธ์ของแรงดัน ( VOLTAGE REGULATION )

เมื่อสวิตช์ถูกปิด ไดโอดจะถูกรีเวอร์สไบอัส ดังนั้นในขณะที่สวิตช์ปิดลง กระแสที่ไหลผ่านไดโอดมีค่าเท่ากับศูนย์ ซึ่งในขณะที่แหล่งกำเนิดแรงดันไฟฟ้ากระแสตรง จะจ่ายกระแสผ่านตัวเหนี่ยวนำและกระแสที่ไหลผ่านตัวเหนี่ยวนำจะค่อย ๆ เพิ่มขึ้นในอัตราคงที่เมื่อเทียบกับเวลา



เอกสารนี้เป็นเอกสารที่สงวนไว้สำหรับรูปที่ 2.11 เมื่อสวิตช์ปิดวงจรนั้น ไม่อนุญาตให้นำไปใช้ประโยชน์ด้านการค้า ไม่ว่าจะกรณีใดๆ ทั้งสิ้น อีกทั้งห้ามมิให้ตัดแปลงเนื้อหา และต้องอ้างอิงถึงเจ้าของเอกสารทุกครั้งที่มีการนำไปใช้

เมื่อสวิตช์ถูกเปิดแหล่งกำเนิดแรงดันไฟฟ้ากระแสตรง จะถูกตัดออกจากวงจร และจะมีกระแสไหลผ่านไดโอด ซึ่งมีค่าเท่ากับกระแสที่ไหลผ่านตัวเหนี่ยวนำ



รูปที่ 2.12 เมื่อสวิตช์เปิดวงจร

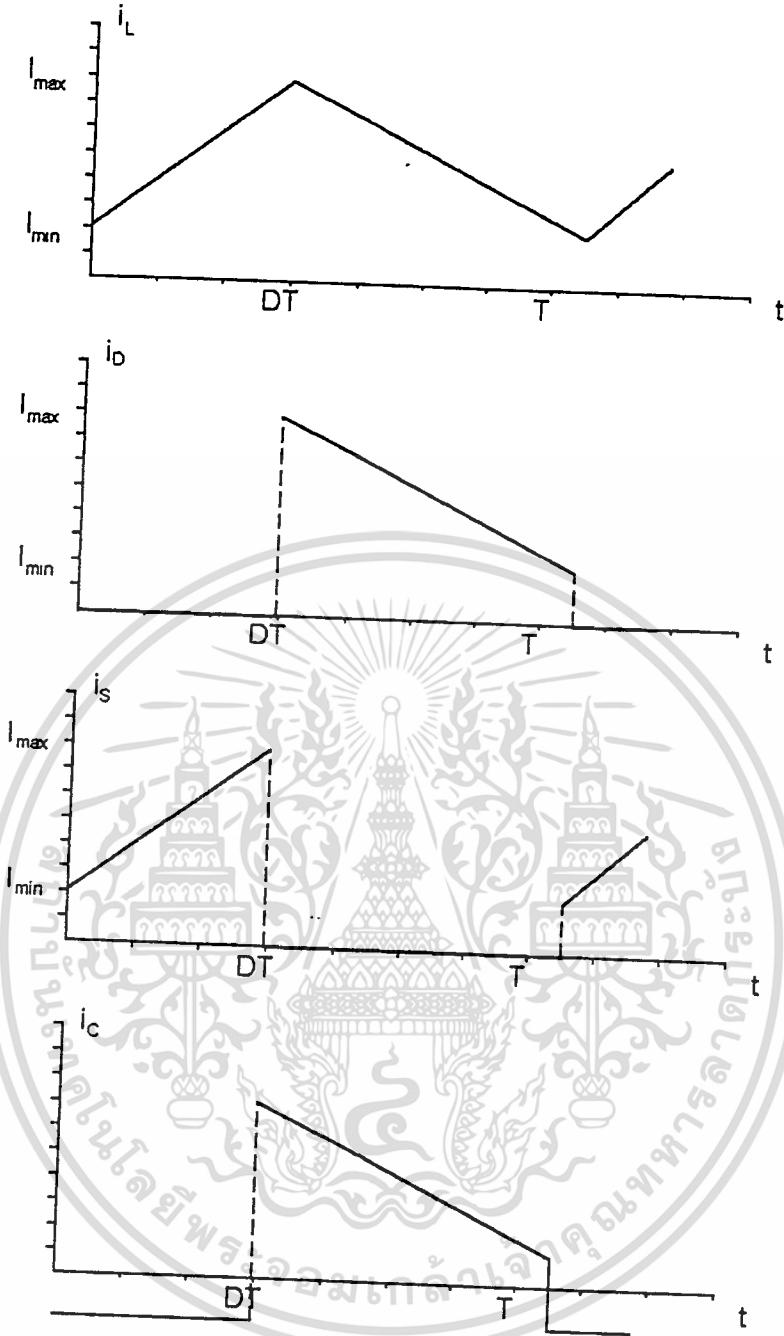
จากที่กล่าวมาแล้วเมื่อสวิตช์ถูกปิด กระแสไหลผ่านตัวเหนี่ยวนำ จะค่อย ๆ เพิ่มขึ้นในอัตราคงที่ดังสมการ

$$E = V_L$$

$$E = L \frac{di_L}{dt}$$

$$\frac{di_L}{dt} = \frac{E}{L}$$

พิจารณาความสัมพันธ์ระหว่างกระแสและเวลาของอุปกรณ์ในวงจรดังนี้



รูปที่ 2.13 กราฟความสัมพันธ์ระหว่างกระแสกับเวลาของวงจรลดและเพิ่มแรงดัน

ดังนั้นเมื่อสวิตช์ปิดจะได้

$$I_{\max} - I_{\min} = \frac{(E)DT}{L}$$

เมื่อสวิตช์ถูกเปิด

$$-V_c = L \frac{di_c}{dt}$$

เอกสารนี้เป็นเอกสารที่สงวนไว้สำหรับการใช้งานเพื่อการศึกษาเท่านั้น ไม่อนุญาตให้นำไปใช้ประโยชน์ด้านการค้า  
ไม่ว่ากรณีใดๆ ทั้งสิ้น อีกทั้งห้ามมิให้ตัดแปลงเนื้อหา และต้องอ้างอิงถึงเจ้าของเอกสารทุกครั้งที่มีการนำไปใช้

บทที่ 3  
 เทอเวอร์ทรานซิสเตอร์  
 ( POWER TRANSISTER )

3.1 อุปกรณ์ที่ใช้ในการสวิตชิง (switching device )

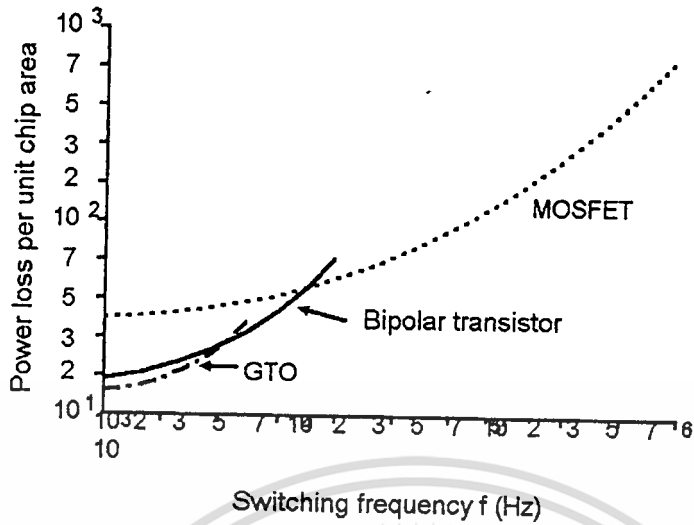
พิจารณาตาราง 3.1 เปรียบเทียบคุณสมบัติของอุปกรณ์ต่าง ๆ

ตาราง 3.1 แสดงการเปรียบเทียบคุณสมบัติต่าง ๆ ของอุปกรณ์สวิตชิง

Item	Thyristor	GTO	Bipolar transistor	MOSFET	SIT	SIThy
Normally ON/OFF	OFF	OFF	OFF	OFF	ON	ON
Breakdown voltage (V)	~4000	~4500	~1000	~1000	~500	~2500
Current density (A cm <sup>-2</sup> )	100	100	40	10	10	100
Surge current capability	Good	Good	Bad	Bad	Bad	Good
Carrier frequency (kHz)	5	3	20	2000	2000	20
Gate drive power	Low	Medium	High	Low	Low	Medium
Self-turn-off ability	No	Yes	Yes	Yes	Yes	Yes
Operation junction temperature limit (°C)	125	125	150	200	200	200

พิจารณาคุณสมบัติอื่น ๆ อีก ได้แก่

1. กำลังสูญเสียและความถี่ที่ใช้งานในการสวิตชิง (power loss and operating frequency)



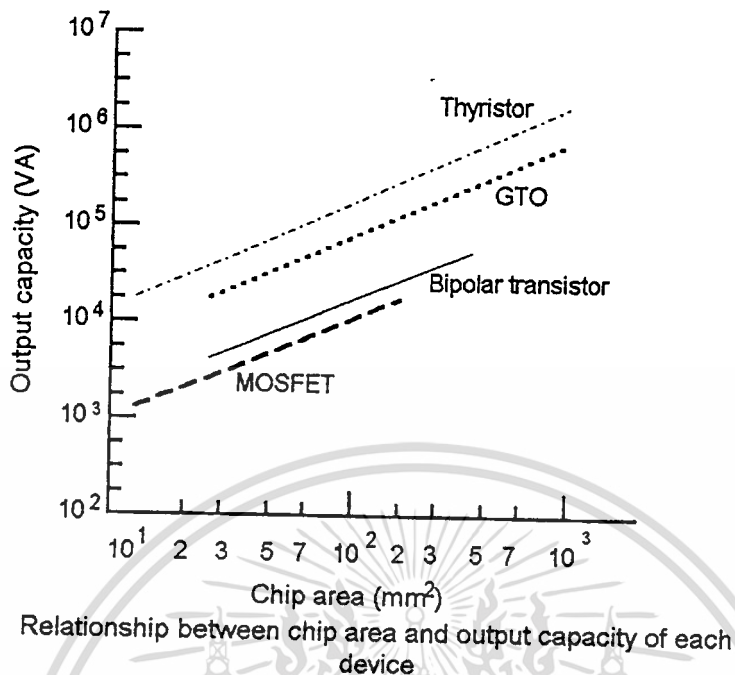
Power loss VS switching frequency for power devices

รูปที่ 3.1 กำลังสูญเสียและความถี่ที่ใช้งานในการสวิชชิงของอุปกรณ์ต่าง ๆ

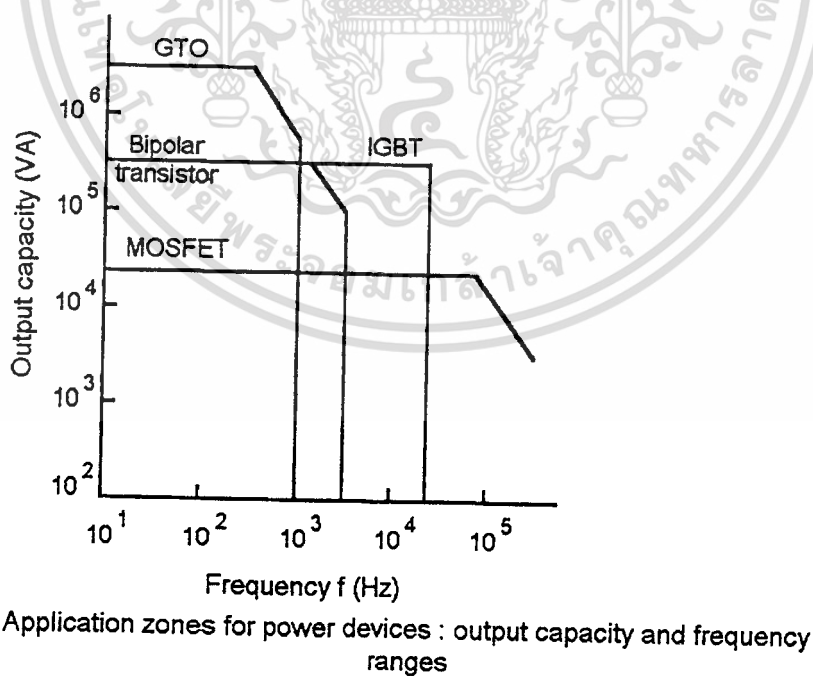
จากรูป 3.1 เป็นการแสดงความสัมพันธ์ระหว่างกำลังสูญเสียและความถี่ที่ใช้งานในการสวิชชิงของ จีทีโอ ทรานซิสเตอร์ มอสเฟต จะสังเกตได้ว่าที่ความถี่สูงๆ กำลังสูญเสียของจีทีโอมีมากที่สุด รองลงมาคือทรานซิสเตอร์แล้วตามด้วยมอสเฟต ฉะนั้นในย่านความถี่สูงควรใช้มอสเฟตจะ ดีที่สุด ในทางตรงกันข้ามถ้าใช้งานที่ความถี่ต่ำเราควรใช้จีทีโอจะมีการสูญเสียน้อยที่สุด

2. ขนาดของกำลังและขนาดของพื้นที่ของชิป ( output capacity and chip area ) จากรูป 3.2 จะเห็นได้ว่า ทรานซิสเตอร์สามารถให้กำลังเอาต์พุตได้ดีที่สุด ตามด้วยจีทีโอ ทรานซิสเตอร์ และมอสเฟต ตามลำดับ

3. ขนาดของกำลังและช่วงความถี่ที่ใช้งาน (output capacity and frequency ranges ) จาก รูปที่ 3.3 แสดงขอบเขตการใช้งานของอุปกรณ์แต่ละตัวที่ความถี่ต่างๆ กัน จะมีขนาดกำลังเป็น อย่างไร จะเห็นได้ว่าทรานซิสเตอร์สามารถใช้งานได้ที่ความถี่ต่างๆ หลายค่า



รูปที่ 3.2 แสดงความสัมพันธ์ระหว่างขนาดของกำลังและขนาดของพื้นที่ของชิพ ของอุปกรณ์ต่าง ๆ



รูปที่ 3.3 แสดงความสัมพันธ์ระหว่างขนาดของกำลังและช่วงความถี่ที่ใช้ งานของอุปกรณ์ต่าง ๆ

เอกสารนี้เป็นเอกสารที่สงวนไว้สำหรับการใช้งานเพื่อการศึกษาเท่านั้น ไม่อนุญาตให้นำไปใช้ประโยชน์ด้านการค้า ไม่ว่าจะกรณีใดๆ ทั้งสิ้น อีกทั้งห้ามมิให้ตัดแปลงเนื้อหา และต้องอ้างอิงถึงเจ้าของเอกสารทุกครั้งที่มีการนำไปใช้



4. เปรียบเทียบทรานซิสเตอร์กับจีทีโอ โดยทั่วไปการเปรียบเทียบการทำงานระหว่างอุปกรณ์สองตัวใดๆ จะต้องกำหนดที่ขนาดของกำลังค่าหนึ่ง เราจะมาพิจารณาตาราง 3.1.2 ที่ขนาดกำลังที่น้อยกว่า 300 กิโลวัตต์แอมแปร์ ซึ่งอุปกรณ์ทั้งสองตัวยังสามารถทำงานได้

ตาราง 3.2 เปรียบเทียบคุณสมบัติระหว่างทรานซิสเตอร์กับจีทีโอ

		Transistor	GTO
Basic characteristic	Voltage rating	△	○
	Current	△	○
	Turn-off time	○	△
	Cut-off characterist	○	△
Application	Protection circuit	Easy	Should be strong
	Snubber circuit	Small	Big
	Over-current protection	Easy	Complicated
	Parallel connection	Easy	Rather Complicated
	Frequency	High	Low
	Assembling precautions	Not to many	Many
	Total evaluation (for 300 kva or less)	♠	○

♠ : excellent ; ○: good ; △ : medium;

จากตาราง3.2 จะเห็นได้ว่าโดยรวมแล้วทรานซิสเตอร์จะดีกว่าจีทีโอ ยกเว้นเรื่องการใช้งานที่แรงดันสูง และที่กำลังมาก ๆ

ในการทำระบบควบคุมรถไฟฟ้ากระแสตรง เราเลือกใช้ทรานซิสเตอร์เป็นอุปกรณ์ในการสวิตชิงจึงจะกล่าวรายละเอียดต่อไป

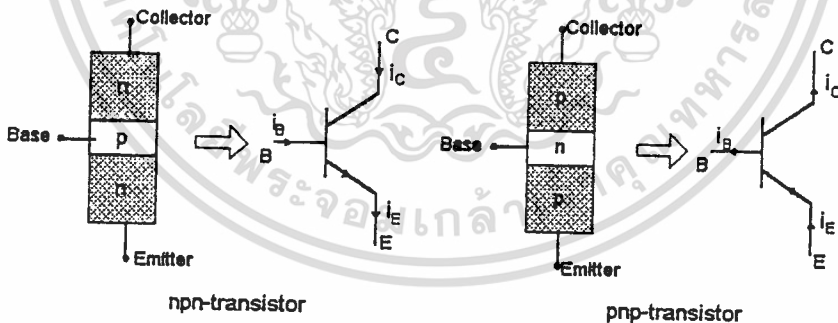
### 3.2 เพาเวอร์ทรานซิสเตอร์ (POWER TRANSISTOR)

เพาเวอร์ทรานซิสเตอร์มีหน้าที่ควบคุมคุณสมบัติการเปิดปิดกระแส โดยตัวทรานซิสเตอร์ที่ใช้เป็นสวิตช์จะถูกควบคุมให้ทำงานอยู่ในช่วงอิ่มตัว (saturate) ความเร็วในการสวิตช์ของทรานซิสเตอร์รุ่นใหม่จะสูงกว่าไทรสเตอร์ แต่โวลเตจและกระแสพิคคของมันจะมีค่าต่ำกว่าไทรสเตอร์

เพาเวอร์ทรานซิสเตอร์สามารถแบ่งอย่างกว้างๆ ได้ 3 ชนิดแต่ในที่นี้เราจะพิจารณาเฉพาะไบโพลาร์จังก์ชันทรานซิสเตอร์ (Bipolar junction transistor (BJTs))

#### 3.2.1 ไบโพลาร์จังก์ชันทรานซิสเตอร์

ไบโพลาร์จังก์ชันทรานซิสเตอร์ถูกสร้างขึ้นโดยการเติมส่วน เอ็น หรือ พี ลงในไดโอดที่มีรอยต่อเป็นแบบพีเอ็น (pn-junction diode) ถ้ามีส่วนเอ็นสองส่วน ส่วนพีหนึ่งส่วนจะมีรอยต่ออยู่สองรอยต่อ และจะเรียกตัวอุปกรณ์นี้ว่า ทรานซิสเตอร์แบบเอ็นพีเอ็น ซึ่งแสดงในรูปที่ 3.4(ก) ถ้ามีส่วนพีสองส่วน ส่วนเอ็นหนึ่งส่วน ก็จะเรียกว่าทรานซิสเตอร์แบบพีเอ็นพี ซึ่งแสดงในรูปที่ 3.4(ข) บริเวณทั้งสามส่วนมีชื่อเรียกต่างกันว่าคอลเลคเตอร์ (collector) , อีมิเตอร์ (emitter) , และเบส (base) ซึ่งไบโพลาร์ทรานซิสเตอร์จะมีส่วนที่เป็นรอยต่ออยู่สองส่วน คือรอยต่อคอลเลคเตอร์-เบส (CBJ) และรอยต่อเบส-อีมิเตอร์ (BEJ)

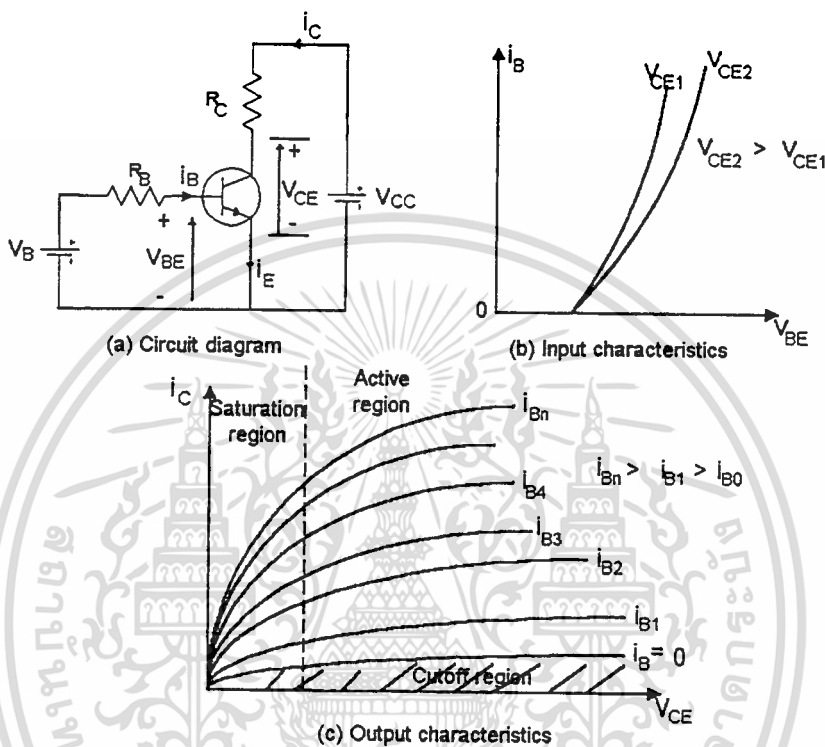


(ก) ทรานซิสเตอร์แบบเอ็นพีเอ็น (ข) ทรานซิสเตอร์แบบพีเอ็นพี  
รูปที่ 3.4 แสดงสัญลักษณ์ของไบโพลาร์ทรานซิสเตอร์

#### 3.2.2 คุณสมบัติในสภาวะคงตัว (Steady-state characteristic)

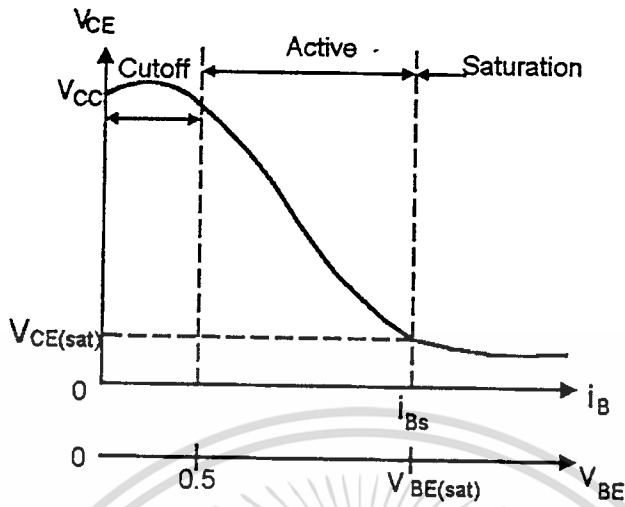
ถึงแม้ว่าจะมีรูปแบบของโครงสร้างที่เป็นไปได้อยู่สามแบบ คือใช้คอลเลคเตอร์ร่วม, ใช้เบสร่วม และใช้อีมิเตอร์ร่วม แต่แบบใช้อีมิเตอร์ร่วมได้แสดงในรูปที่ 3.5 (a) (สำหรับทรานซิสเตอร์แบบเอ็นพีเอ็น) จะเป็นแบบที่ใช้งานทั่วไปในการใช้งานเป็นสวิตช์ รูปที่ 3.5 (b)

จะแสดงถึงคุณสมบัติทางอินพุทของกระแสเบสต่อโวลเตจตกคร่อมเบส - อิมิตเตอร์ ส่วนรูปที่ 3.5 (c) จะแสดงถึง คุณสมบัติทางเอาต์พุทของกระแสคอลเลกเตอร์ต่อ โวลเตจตกคร่อมคอลเลกเตอร์ - อิมิตเตอร์ส่วนสำหรับทรานซิสเตอร์แบบที่เอ็นพีเอ็กระแสและโวลท์เตจทั้งหมดจะกลับหัวกัน



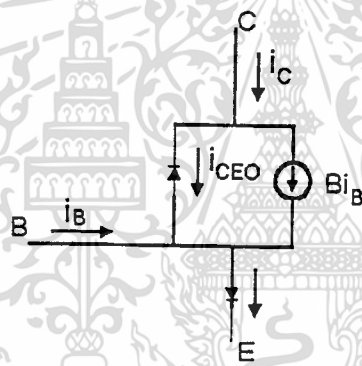
รูปที่ 3.5 แสดงคุณสมบัติของทรานซิสเตอร์แบบเอ็นพีเอ็น

ทรานซิสเตอร์จะมีลักษณะการทำงานอยู่ 3 ช่วง คือ คัทออฟ (cut-off) ,แอกทีฟ (active) และช่วงอิ่มตัว (saturation) ในการคัทออฟทรานซิสเตอร์จะออฟ (off) หรือกระแสเบสไม่มากพอที่จะทำให้ทรานซิสเตอร์ออน (on) ได้ และบริเวณรอยต่อทั้งสองเป็นรีเวอร์ไบแอส (reverse bias) ในช่วงแอกทีฟทรานซิสเตอร์จะทำหน้าที่เป็นแอมพลิฟายเออร์ (amplifier) ซึ่งจะขยายกระแสคอลเลกเตอร์ตามอัตราส่วนการขยาย และโวลเตจตกคร่อมคอลเลกเตอร์ - อิมิตเตอร์จะลดลงด้วยกระแสเบส โดยรอยต่อคอลเลกเตอร์ - เบสเป็นรีเวอร์สไบแอสและรอยต่อเบส - อิมิตเตอร์เป็นฟอร์เวิร์คไบแอส ในช่วงอิ่มตัว กระแสเบสจะมีค่าสูงเนื่องจากโวลเตจตกคร่อมคอลเลกเตอร์ - อิมิตเตอร์มีค่าต่ำ และทรานซิสเตอร์จะทำหน้าที่เป็นสวิตช์ บริเวณรอยต่อทั้งสองเป็นฟอร์เวิร์คไบแอส



Transfer characteristics

รูปที่ 3.6 คุณสมบัติในการเปลี่ยนแปลง



Model of npn-transistor

รูปที่ 3.7 แสดงลักษณะของทรานซิสเตอร์แบบเอ็นพีเอ็น

รูปแบบของทรานซิสเตอร์ในรูปที่ 3.7 สมการของกระแส คือ

$$I_B = I_C + I_E \tag{3.2.1}$$

โดยที่กระแสเบสเป็นกระแสอินพุท และกระแสคอลเลคเตอร์เป็นกระแสเอาต์พุท อัตราส่วนของกระแสคอลเลคเตอร์  $I_C$  ต่อกกระแสเบส  $I_B$  เรียกว่า อัตราการขยายกระแส (current gain),  $\beta$

$$\beta = h_{FE} = I_C/I_B \tag{3.2.2}$$

กระแสคอลเลคเตอร์ประกอบด้วยสองส่วนส่วนหนึ่งเนื่องจากกระแสเบสและอีกส่วนหนึ่งเป็นกระแสรั่วไหลของรอยต่อคอลเลคเตอร์-เบส

$$I_C = \beta I_B + I_{CBO} \quad (3.2.3)$$

เมื่อ  $I_{CBO}$  คือ กระแสรั่วไหลจากคอลเลกเตอร์ไปอีมิเตอร์เมื่อเปิดวงจรเบสและสามารถพิจารณาตัดทิ้งได้ เมื่อเปรียบเทียบกับ  $\beta I_B$  จากสมการ (3.2.1) และ (3.2.2)

$$I_B = I_B(1+\beta) + I_{CBO} \quad (3.2.4)$$

$$= I_B(1+\beta) \quad (3.2.4 \text{ ก})$$

$$I_B = I_C(1+1/\beta) = I_C(\beta+1)/\beta \quad (3.2.5)$$

กระแสคอลเลกเตอร์สามารถกำหนดเป็น

$$I_C = \alpha I_B \quad (3.2.6)$$

เมื่อค่าคงที่  $\alpha$  สัมพันธ์กับ  $\beta$  โดย

$$\alpha = \beta/(\beta+1) \quad (3.2.7)$$

$$\beta = \alpha/(\alpha-1) \quad (3.2.8)$$

ลองพิจารณาวงจรในรูปที่ 3.2.2.3 เมื่อทรานซิสเตอร์ทำงานเป็นสวิตช์

$$I_B = (V_B - V_{BE})/R_B \quad (3.2.9)$$

$$\begin{aligned} V_C &= V_{CE} = V_{CC} - I_C R_C \\ &= V_{CC} - \beta R_C (V_B - V_{BE})/R_B \end{aligned} \quad (3.2.10)$$

$$V_{CE} = V_{CB} + V_{BE}$$

$$\text{หรือ} \quad V_{CB} = V_{CE} - V_{BE} \quad (3.2.11)$$

สมการ (3.2.11) แสดงให้เห็นว่าตราบเท่าที่โวลเตจคร่อมคอลเลกเตอร์-อีมิเตอร์,  $V_{CB}$  มากกว่าเท่ากับโวลเตจคร่อมเบส-อีมิเตอร์,  $V_{BE}$  รอยต่อคอลเลกเตอร์-เบสจะยังเป็นรีเวอร์สไบออส และทรานซิสเตอร์จะทำงานอยู่ในช่วงแอกทีฟ กระแสคอลเลกเตอร์ในช่วงแอกทีฟมีค่าสูงสุดหาได้โดยให้โวลเตจคร่อมคอลเลกเตอร์-เบส,  $V_{CB} = 0$  และโวลเตจคร่อมเบส-อีมิเตอร์,  $V_{BE} =$  โวลเตจคร่อมคอลเลกเตอร์-อีมิเตอร์,  $V_{CB}$

เอกสารนี้เป็นเอกสารที่สงวนไว้สำหรับการใช้งานเพื่อการศึกษาเท่านั้น ไม่อนุญาตให้นำไปใช้ประโยชน์ด้านการค้า ไม่ว่ากรณีใดๆ ทั้งสิ้น อีกทั้งห้ามมิให้ตัดแปลงเนื้อหา และต้องอ้างอิงถึงเจ้าของเอกสารทุกครั้งที่มีการนำไปใช้

$$\begin{aligned} I_{CM} &= (V_{CC} - V_{CE})/R_C \\ &= (V_{CC} - V_{BE})/R_C \end{aligned} \quad (3.2.12)$$

และกระแสเบสที่สอดคล้องกันคือ

$$I_{BM} = I_{CM}/\beta \quad (3.2.13)$$

ถ้ากระแสเบสเพิ่มขึ้นจนมากกว่า  $I_{BM}$  โวลเตจคร่อมเบส - อิมิตเตอร์จะเพิ่มขึ้นและกระแสคอลเลกเตอร์  $I_C$  จะเพิ่มขึ้น และโวลเตจคร่อมคอลเลกเตอร์ - อิมิตเตอร์  $V_{CE}$  จะมีค่าน้อยกว่าโวลเตจคร่อมเบส - อิมิตเตอร์  $V_{BE}$  สภาพนี้จะดำเนินต่อไปจนกระทั่งรอยต่อคอลเลกเตอร์ เบสเป็นฟอร์เวิร์คไบแอสด้วยโวลเตจคร่อมเบส-คอลเลกเตอร์  $V_{BE}$  ประมาณ 0.4-0.5 V ทรานซิสเตอร์จะเข้าสู่ช่วงอิ่มตัว การอิ่มตัวของทรานซิสเตอร์อาจจะกำหนดที่จุดที่ซึ่งเมื่อเพิ่มกระแสเบสขึ้นแล้ว ไม่สามารถทำให้กระแสคอลเลกเตอร์เพิ่มขึ้นได้

ในช่วงอิ่มตัวกระแสคอลเลกเตอร์มีค่าเกือบจะคงที่ ถ้าโวลเตจคร่อมคอลเลกเตอร์-อิมิตเตอร์ขณะอิ่มตัว ( collector-emitter saturation voltage ) คือ  $V_{CE(mat)}$  จะได้กระแสคอลเลกเตอร์เป็น

$$I_{CS} = (V_{CC} - V_{CE(mat)})/R_C \quad (3.2.14)$$

และค่ากระแสเบสคือ

$$I_{BS} = I_{CS}/\beta \quad (3.2.15)$$

โดยปกติแล้ววงจรจะถูกออกแบบให้กระแสเบส  $I_B$  มีค่ามากกว่า  $I_{BS}$  อัตราส่วนระหว่าง  $I_B$  ต่อ  $I_{BS}$  เรียกว่าโอเวอร์ไดรฟ์แฟกเตอร์, overdrive factor, ODF

$$ODF = I_B/I_{BS} \quad (3.2.16)$$

และอัตราส่วนระหว่าง  $I_{CS}$  ต่อ  $I_B$  คือ ฟอร์ซเบต้า, forced  $\beta$ ,  $\beta_f$  เมื่อ

เอกสารนี้เป็นเอกสารที่สงวนไว้สำหรับการใช้งานเพื่อการศึกษาเท่านั้น ไม่อนุญาตให้นำไปใช้ประโยชน์ด้านการค้า ไม่ว่าจะกรณีใดๆ ทั้งสิ้น อีกทั้งห้ามมิให้ดัดแปลงเนื้อหา และต้องอ้างอิงถึงเจ้าของเอกสารทุกครั้งที่มีการนำไปใช้

### 3.3 การนำทรานซิสเตอร์มาใช้งานในลักษณะสวิตช์

ในการนำทรานซิสเตอร์ไปใช้งานเป็นวงจรถบาย ทรานซิสเตอร์นั้นจะทำงานอยู่ในบริเวณแอกทีฟ สำหรับการนำทรานซิสเตอร์มาใช้งานในลักษณะของสวิตช์ ทรานซิสเตอร์นั้นจะทำงานอยู่ในบริเวณอิ่มตัวและบริเวณคัทออฟ เราจะศึกษาคุณสมบัติในการทำงานแบบสวิตช์ของทรานซิสเตอร์

#### 3.3.1 การใช้ทรานซิสเตอร์เป็นสวิตช์ในอุดมคติ

รูปที่ 3.10 (ก) เป็นวงจรถานซิสเตอร์ชนิดอิมิตเตอร์ร่วมที่ทำหน้าที่เป็นสวิตช์ โดยตัวทรานซิสเตอร์เสมือนเป็นสวิตช์ให้กับโหลด  $R_L$  ที่ต่อระหว่าง  $V_{CC}$  กับขาคอลเลกเตอร์ของตัวทรานซิสเตอร์ส่วนขาอิมิตเตอร์ต่อลงกราวด์ ทรานซิสเตอร์จะกระทำตัวคล้ายกับเป็นสวิตช์ ซึ่งจะเปิด-ปิดระหว่างขาคอลเลกเตอร์กับอิมิตเตอร์ ส่วนของแรงดันอินพุตที่ป้อนเข้าที่เบสทำตัวเป็นส่วนควบคุมการทำงานของสวิตช์ ถ้าพิจารณาตามกฎของเคิซโฮฟเราจะพบว่าส่วนของแรงดัน  $V_{CB}$  สามารถหาได้จาก

$$V_{CB} = V_{CC} - I_C R_L$$

เมื่อแรงดันที่เบส-อิมิตเตอร์มีค่าเป็นศูนย์ หรือไบอัสกลับที่ขั้วอิมิตเตอร์ ส่วนของกระแสเบสจะมีค่าเป็นศูนย์ด้วย กระแสคอลเลกเตอร์จะพลอยมีค่าเป็นศูนย์ด้วย ในภาวะเช่นนี้ ทรานซิสเตอร์อยู่ในสถานะคัทออฟ นั่นคือแรงดันที่ตกคร่อมโหลดจะมีค่าเป็นศูนย์ (เพราะกระแสคอลเลกเตอร์ มีค่าเท่ากับศูนย์)

แรงดันตกคร่อม  $V_{CB}$  หาได้จาก

$$\begin{aligned} V_{CB} &= V_{CC} - (0 \cdot R_L) \\ &= V_{CC} \end{aligned}$$

นั่นคือเมื่อทรานซิสเตอร์อยู่ในสถานะคัทออฟ แรงดันที่คอลเลกเตอร์ของทรานซิสเตอร์จะมีค่าประมาณเท่ากับแรงดัน  $V_{CC}$

ครั้นเมื่อทำให้แรงดันที่เบสมีค่าเป็นบวก หรือป้อนกระแสเบส จนทำให้ทรานซิสเตอร์อิ่มตัว จะทำให้มีกระแสคอลเลกเตอร์ไหลได้เป็นจำนวนมากมาย ดังนั้น แรงดันตกคร่อมโหลดจะมีค่าเป็น  $I_C R_L$  ซึ่งมีค่าประมาณได้เท่ากับ  $V_{CC}$  และจากสมการเดิมเราสามารถหา  $V_{CB}$  ได้เป็น

เอกสารนี้เป็นเอกสารที่สงวนไว้สำหรับการใช้งานเพื่อการศึกษาเท่านั้น ไม่อนุญาตให้นำไปใช้ประโยชน์ด้านการค้า ไม่ว่าจะกรณีใดๆ ทั้งสิ้น อีกทั้งห้ามมิให้ตัดแปลงเนื้อหา และต้องอ้างอิงถึงเจ้าของเอกสารทุกครั้งที่มีการนำไปใช้

หรือกล่าวอีกนัยหนึ่งได้ว่าทรานซิสเตอร์อิ่มตัวหรืออนเป็นผลทำให้  $V_{CE}$  มีค่าประมาณเท่ากับศูนย์ จากลักษณะสมบัติทางอุณหพลศาสตร์เองทำให้เรามองเห็นว่ากำลังสูญเสียที่เกิดขึ้นกับทรานซิสเตอร์พลอยมีค่าเป็นศูนย์ด้วย ทั้งนี้เพราะว่า

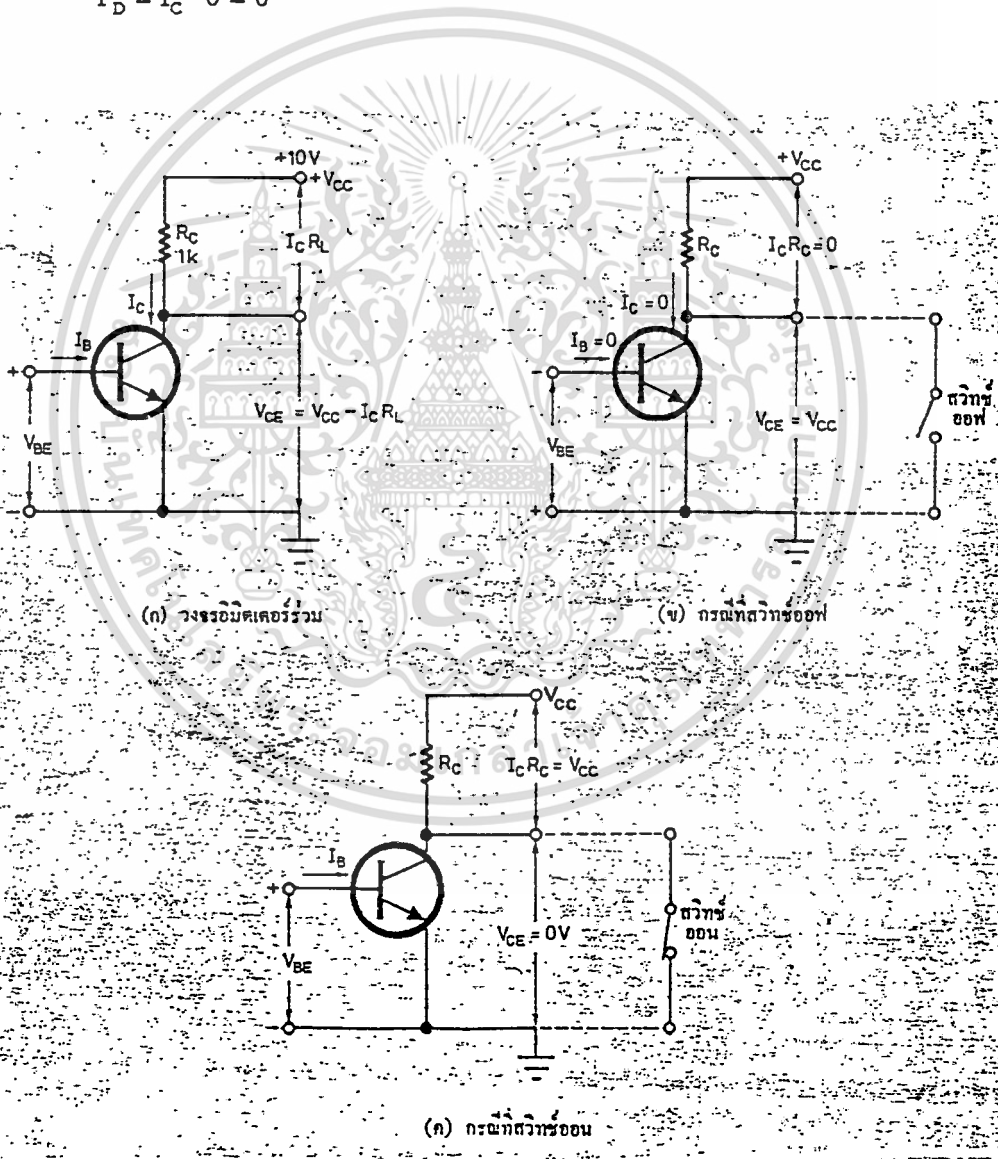
$$P_D = I_C * V_{CE}$$

เมื่อคิดว่าทรานซิสเตอร์อยู่ในสภาวะคัทออฟ  $I_C = 0$

$$P_D = 0 * V_{CE} = 0$$

เมื่อคิดว่าทรานซิสเตอร์อยู่ในสภาวะอิ่มตัว  $V_{CE} = 0$

$$P_D = I_C * 0 = 0$$



รูปที่ 3.10 การทำงานเป็นสวิตช์ของทรานซิสเตอร์

เอกสารนี้เป็นเอกสารที่สงวนไว้สำหรับการใช้งานเพื่อการศึกษาเท่านั้น ไม่อนุญาตให้นำไปใช้ประโยชน์ด้านการค้า ไม่ว่ากรณีใดๆ ทั้งสิ้น อีกทั้งห้ามมิให้ดัดแปลงเนื้อหา และต้องอ้างอิงถึงเจ้าของเอกสารทุกครั้งที่มีการนำไปใช้

3.3.2 การให้ทรานซิสเตอร์เป็นสวิตช์ตามความเป็นจริง

เพื่อให้เข้าใจลักษณะการใช้งานจริง ๆ ของทรานซิสเตอร์ เราจะต้องมาพิจารณาว่าการทำงานของมันแตกต่างจากคุณสมบัติในทางอุดมคติเพียงไร และสิ่งที่จะทำให้เห็นได้ชัดคือ กราฟลักษณะสมบัติของทรานซิสเตอร์ จากสมการเดิม เมื่อ  $I_C = 0, V_{CB} = V_{CC} - 0$  ซึ่งค่า  $V_{CB}$  จะมีค่าเท่ากับ  $V_{CC} = 10$  โวลท์ (ดูรูปที่ 3.10) ร่างจุด A ลงบนกราฟลักษณะสมบัติที่  $I_C = 0$  และ  $V_{CB} = 10$  โวลท์ แต่เมื่อ  $V_{CB} = 10$  โวลท์ เราหาค่าได้ดังนี้

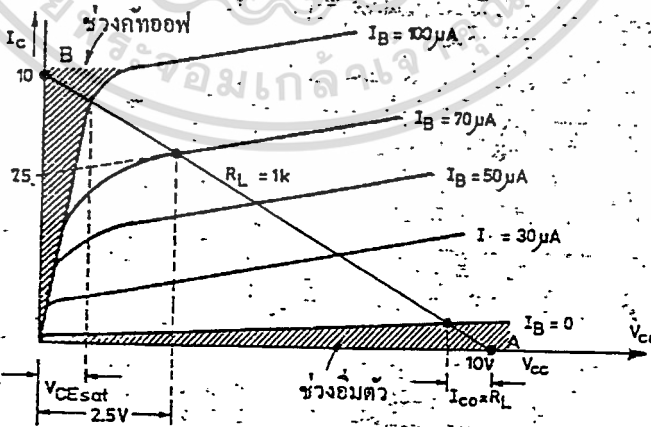
$$0 = V_{CC} - I_C R_L$$

$$I_C = V_{CC} / R_L$$

$$= 10 \text{ V.} / 1k\Omega = 10 \text{ mA}$$

ร่างจุด B ลงบนกราฟลักษณะสมบัติที่  $V_{CB} = 0$  และ  $I_C = 10 \text{ mA}$  ลากเส้นสมการไหลตซึ่งเป็นเส้นเชื่อมต่อ A B (ดูรูปที่ 3.11)

เส้นสมการไหลตนี้จะเป็นตัวบอกความสัมพันธ์ของกระแสกับแรงดัน นั่นคือที่จุดค่ากระแสคอลเลกเตอร์มีค่าต่าง ๆ แรงดัน  $V_{CB}$  ก็พลอยมีค่าเปลี่ยนไปด้วย พื้นที่ของกราฟใน ส่วนบริเวณแรเงาจะเป็นส่วนที่ เรียกว่าอิมตัว และคัทออฟ



รูปที่ 3.11 กราฟลักษณะสมบัติของทรานซิสเตอร์

เอกสารนี้เป็นเอกสารที่สงวนไว้สำหรับการใช้งานเพื่อการศึกษาเท่านั้น ไม่นอนุญาตให้นำไปใช้ประโยชน์ด้านการค้า ไม่ว่ากรณีใดๆ ทั้งสิ้น อีกทั้งห้ามมิให้ดัดแปลงเนื้อหา และต้องอ้างอิงถึงเจ้าของเอกสารทุกครั้งที่มีการนำไปใช้

เมื่อทำให้ทรานซิสเตอร์คัทออฟ หรือให้ค่ากระแสเบสเท่ากับศูนย์ ถ้าเราดูจากกราฟเรา จะเห็นได้ว่าค่าแรงดัน  $V_{CB}$  ที่ได้จะมีค่าน้อยกว่า  $V_{CC}$  นั่นคือ จะต้องมีการเสียบางส่วนไหลผ่าน ทรานซิสเตอร์ได้บ้าง กระแสส่วนนี้ เราเรียกว่ากระแสรั่วไหล ( $I_{CBO}$ ) ดังนั้นค่าแรงดัน  $V_{CB}$  จริง ๆ สามารถคำนวณได้จาก

$$V_{CB} = V_{CC} - I_{CBO}R_L$$

เมื่อ  $V_{CC} = 10$  โวลต์  $R_L = 1k\Omega$  และ  $I_{CBO} = 1 \mu A$

$$V_{CB} = 10 - (1 \mu A * 1k\Omega)$$

$$= 9.999 \text{ โวลต์} \approx V_{CC}$$

ครั้นเมื่อพิจารณาทางด้านอิมิตัวบ้าง เราจะเห็นว่าเมื่อทรานซิสเตอร์เข้าสู่สภาวะอิมิตัวแรงดัน  $V_{CB}$  ที่เกิดขึ้นยังไม่มีค่าเป็นศูนย์จะมีค่าประมาณเท่ากับ  $V_{CE(SAT)}$

- เงื่อนไขของการทำให้ทรานซิสเตอร์ออนหรืออิมิตัว เราจะทำให้ทรานซิสเตอร์อิมิตัวได้ด้วยเงื่อนไขดังนี้

1. ถ้าเราทำการออกแบบหรือคำนวณค่ากระแสเบส และกระแสคอลเลกเตอร์ ได้จากวงจรค่าที่ปรากฏเมื่อ  $I_B > I_C/h_{FE}$  จะทำให้ทรานซิสเตอร์อิมิตัว

2. ทรานซิสเตอร์จะอิมิตัวเมื่อทำการไบแอสแรงดันระหว่างเบสอิมิตเตอร์ชนิดไบอัสตรง

- เงื่อนไขของการทำให้ทรานซิสเตอร์ออฟหรือคัทออฟ ทรานซิสเตอร์ จะคัทออฟก็ต่อเมื่อ

1. รอยต่อระหว่างเบสอิมิตเตอร์จะอยู่ในลักษณะไบอัสกลับหรือแรงดัน  $V_{BB} = 0$

2. กระแสเบสมีค่าเท่ากับศูนย์

สิ่งหนึ่งที่ช่วยเราในการออกแบบการใช้ทรานซิสเตอร์เป็นสวิตช์คือการกำหนดค่า  $h_{FE \text{ MIN}}$  หรือค่าที่ต่ำที่สุดที่เป็นไปได้ ทรานซิสเตอร์จะอิมิตัวเมื่อกำหนดอัตราส่วนของกระแส  $I_C/I_B = h_{FE \text{ MIN}}$  ดังตัวอย่างเช่นเมื่อต้องการออกแบบวงจรทรานซิสเตอร์ที่ใช้เป็นสวิตช์ โดยที่  $I_B = 0.2 \text{ mA}$  เราจะคำนวณหาค่า  $h_{FE \text{ MIN}}$  โดยสมมติว่าวงจรที่ใช้เป็นวงจรรูปที่ 3.10 กรณีอิมิตัวค่า  $I_C$  หาได้จาก

$$I_C \approx V_{CC}/R_L$$

$$= 10 \text{ mA}$$

ดังนั้น  $h_{FE \text{ MIN}}$  ของทรานซิสเตอร์คือ

$$h_{FE \text{ MIN}} = 10 \text{ mA} / 0.2 \text{ mA} = 50$$

นั่นหมายความว่าเราใช้ทรานซิสเตอร์อะไรก็ได้ที่มีอัตราขยาย  $h_{FE} > 50$  จะทำให้ทรานซิสเตอร์อยู่ในสภาวะอิมิตัวได้

เมื่อเราให้ศักดาไบอัสระหว่างเบสกับคอลเลกเตอร์ ( $V_{BB}$ ) เพิ่มขึ้นไปเรื่อย ๆ กระแสคอลเลกเตอร์ ( $I_C$ ) ก็จะเพิ่มขึ้นตามกระแสเบส ( $I_B$ ) เมื่อค่ากระแสคอลเลกเตอร์ เพิ่มขึ้นจนเกือบถึงหรือถึงค่าของกระแสคอลเลกเตอร์อิ่มตัว ( $I_{C(max)}$ ) กระแสคอลเลกเตอร์จะไหลมากกว่าค่าของกระแสคอลเลกเตอร์อิ่มตัวไม่ได้ แม้ว่าจะเพิ่มกระแสเบสเข้าไปอีกเท่าใดก็ตาม ในขณะที่ทรานซิสเตอร์จะเข้าสู่สภาวะอิ่มตัว ในขณะที่ทรานซิสเตอร์เข้าสู่สภาวะอิ่มตัว เราจะพบว่า

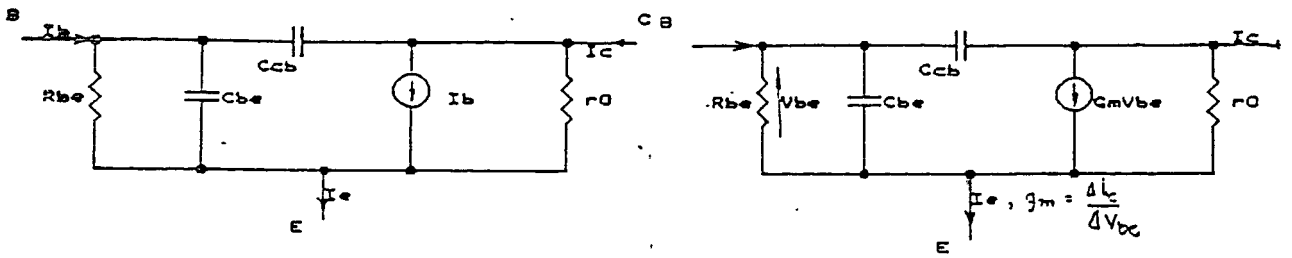
- การที่จะขับทรานซิสเตอร์ให้เข้าสู่การนำกระแสอย่างเต็มที่ ( อิ่มตัว ) จะต้องใช้กระแสเบสจะมีค่ามากกว่าค่าใช้งานปกติ หรือกล่าวอีกนัยหนึ่งได้ว่า ค่าอัตราของการขยายกระแส ( $\beta_{FB}$ ) ของทรานซิสเตอร์ ในขณะอิ่มตัว ( $\beta_{FB(SAT)}$ ) จะมีค่าต่ำกว่าค่าของทรานซิสเตอร์นั้นในการใช้งานปกติ ซึ่งค่าของอัตราขยายกระแสในสภาวะอิ่มตัวนี้ มักจะมีค่าไม่เกิน 20

- ในขณะที่ทรานซิสเตอร์อิ่มตัว ค่าของแรงดันระหว่างเบสกับคอลเลกเตอร์ ที่ใช้ขับทรานซิสเตอร์นั้นอิ่มตัวจะมีค่ามากกว่าค่าที่ใช้งานในสภาวะปกติ และจะมีค่ามากกว่าศักดาระหว่างคอลเลกเตอร์กับอิมิตเตอร์ในสภาวะอิ่มตัว ( $V_{CB(SAT)}$ ) ซึ่งจะทำให้รอยต่อระหว่างเบสกับคอลเลกเตอร์ จะกลายเป็นฟอร์เวอร์สไบอัสซึ่งจะทำให้มีประจุสะสมในตัวทรานซิสเตอร์มากกว่าสภาวะปกติ

- จากการที่ต้องขับกระแสเบสให้ทรานซิสเตอร์มากกว่าปกติ จะทำให้มีประจุจำนวนมากสะสมอยู่ในตัวทรานซิสเตอร์ ซึ่งจะทำให้เวลาในการตอบสนองของทรานซิสเตอร์ช้าลงกว่าในขณะที่ทำงานในลักษณะวงจรขยาย

### 3.3.3 ช่วงเวลาในการสวิตช์

จากรูปที่ 3.12 เราสามารถแสดงถึงทรานซิสเตอร์ที่อยู่ในลักษณะทรานเซียนท์ เมื่อตัวเก็บประจุ  $C_{ob}$  และ  $C_{oc}$  เป็นตัวเก็บประจุของรอยต่อคอลเลกเตอร์-เบส และรอยต่อเบส-อิมิตเตอร์ ตามลำดับ อัตราส่วนระหว่างการเปลี่ยนแปลงของ กระแสคอลเลกเตอร์,  $\Delta i_c$  ต่อการเปลี่ยนแปลงของแรงดันที่ตกคร่อมเบส-อิมิตเตอร์,  $\Delta v_{BE}$  ของทรานซิสเตอร์ เราเรียกว่าทรานสคอนดักแตนซ์ (transconductance),  $g_m$  ตัวเก็บประจุเหล่านี้จะขึ้นอยู่กับแรงดันตรงรอยต่อ และโครงสร้างทางกายภาพของทรานซิสเตอร์ ความต้านทาน  $r_{CB}$  และ  $r_{BE}$  เป็นความต้านทานระหว่างคอลเลกเตอร์กับอิมิตเตอร์ และเบสกับอิมิตเตอร์ ตามลำดับ

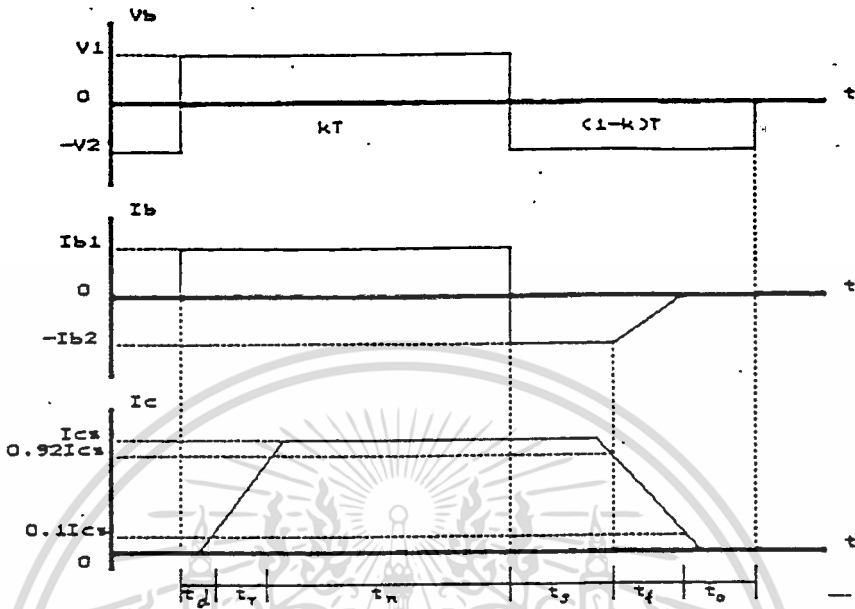


รูปที่ 3.12 แสดงลักษณะของไบโพลาร์จังก์ชันทรานซิสเตอร์ขณะสภาวะทรานเซียนท์

เนื่องจากมีตัวเก็บประจุเสมือนอยู่ภายใน ดังนั้นทรานซิสเตอร์จึงไม่น่าจะแสดงอย่างทันทีทันใด จากรูปที่ 3.13 จะแสดงถึงรูปคลื่นของตัวแปรต่าง ๆ กับเวลาในการสวิตช์ เมื่อแรงดันอินพุต  $V_B$  เพิ่มขึ้นจาก 0 ถึง  $V_1$  และกระแสเบสเพิ่มขึ้นจนถึง  $I_{B1}$  กระแสคอลเลกเตอร์จะไม่ตอบสนองในทันที จะมีการหน่วงเวลาก่อนที่จะมีกระแสคอลเลกเตอร์ไหล เวลาที่หน่วงไปนี้ เรียกว่า ช่วงเวลาหน่วง (delay time) ซึ่งต้องการเพื่อชาร์จตัวเก็บประจุของรอยต่อเบสกับอิมิตเตอร์ไปจนถึงค่าแรงดันฟอร์เวอร์สไบอัส  $V_{BE}$  (ประมาณ 0.7 V) หลังจากนั้นกระแสคอลเลกเตอร์ จะเพิ่มขึ้นจนถึงค่าอิมิตต์วที่คงที่ (steady-state)  $I_{CS}$  เวลาในการเพิ่มขึ้นของกระแสที่เรียกว่า ช่วงเวลาขาขึ้น (rise time) ขึ้นอยู่กับค่าคงที่เวลา (time constant) ซึ่งถูกกำหนดโดยตัวเก็บประจุเสมือนภายในนั่นเอง

ในทำนองเดียวกันทรานซิสเตอร์ก็ไม่สามารถที่จะคัทออฟได้ในทันทีทันใด ช่วงเวลาการคัทออฟประกอบด้วย ช่วงเวลาสะสม (storage time) และช่วงเวลาขาลง (fall time) ช่วงเวลาสะสมเป็นผลมาจากการสะสมประจุ เมื่อทรานซิสเตอร์อยู่ในสภาวะอิมิตต์วส่วนของประจุจะสะสมที่บริเวณรอยต่อ ครั้นเมื่อทำให้ทรานซิสเตอร์คัทออฟประจุส่วนนี้ยังหลงเหลืออีกเล็กน้อย

โดยปกติตามคู่มือผู้ผลิตจะบอกมาเป็นช่วงเวลาออนและช่วงเวลาออฟ แต่ทรานซิสเตอร์บางตัวผู้ผลิตจะให้ข้อมูลมาทั้งหมด คือ ช่วงเวลาหน่วง ช่วงเวลาขาขึ้น ช่วงเวลาสะสม ช่วงเวลาขาลง



รูปที่ 3.13 เวลาในการสวิชชิงของไบโพลาร์จังก์ชันทรานซิสเตอร์

นิยามของค่าเวลาต่าง ๆ ที่ใช้ในการทำให้ทรานซิสเตอร์นำกระแส (turn on) และหยุดนำกระแส (turn off) มีดังต่อไปนี้

Rise Time :  $t_r$  คือเวลาที่ใช้ในการเพิ่มขึ้นของกระแส หรือแรงดันใด ๆ จาก 10% ของค่าสูงสุด (ไม่รวมโอเวอร์ชูท) ไปยังค่า 90% ของค่าสูงสุด

Delay Time :  $t_d$  คือเวลาที่นับจากขณะที่เริ่มต้นขับอินพุท ไปจนถึงเวลาที่เอาต์พุทเริ่มตอบสนองถึง 10% ของค่าสูงสุด

On Time :  $t_{on}$  คือเวลาที่นับจาก ขณะที่เริ่มต้นขับอินพุท ไปจนถึงเวลาที่เอาต์พุทตอบสนองจนถึงค่า 90% ของค่าสูงสุด ซึ่ง  $t_{on} = t_d + t_r$

Fall Time :  $t_f$  คือเวลาที่ใช้ในการลดลงของกระแส หรือศักดา จาก 90% ของค่าสูงสุด ลดสู่ค่า 10% ของค่าสูงสุด

Storage Time :  $t_s$  คือเวลาที่นับจากเมื่ออินพุทที่จ่ายเพื่อขับหมดไป จนถึงเวลาที่เอาต์พุทเริ่มตอบสนองลดลงเหลือ 90% ของค่าสูงสุด

Off Time :  $t_{off}$  คือเวลาที่นับจากเมื่ออินพุทที่จ่ายเพื่อขับหมดไป ไปจนถึงเวลาที่เอาต์พุท

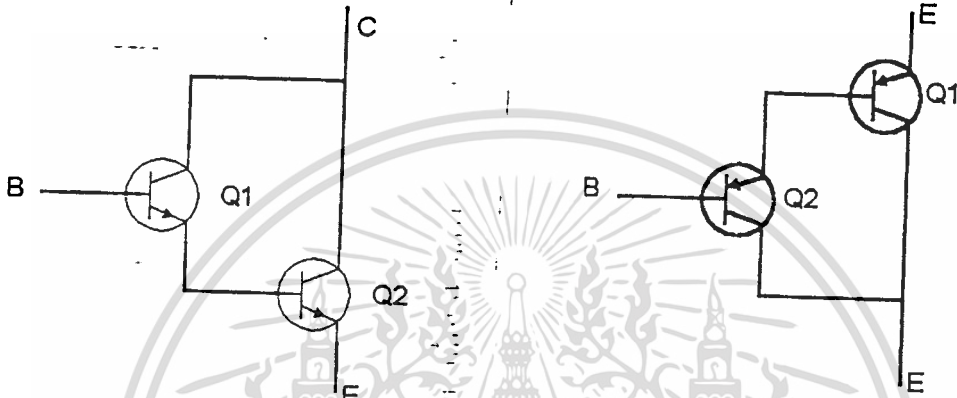
ตอบสนองจนลดลงเหลือ 10% ของค่าสูงสุด ซึ่ง  $t_{off} = t_s + t_f$

เอกสารนี้เป็นเอกสารที่สงวนไว้สำหรับกรใช้งานเพื่อการศึกษเท่านั้น ไม่อนุญาตให้นำไปใช้ประโยชน์ด้านการค้า

ไม่ว่ากรณีใดๆ ทั้งสิ้น อีกทั้งห้ามมิให้ดัดแปลงเนื้อหา และต้องอ้างอิงถึงเจ้าของเอกสารทุกครั้งที่มีการนำไปใช้

3.4 ทรานซิสเตอร์คาร์ลิงตัน (Darlington Transistor)

ในการใช้ทรานซิสเตอร์ที่ค่ากระแสสูง ๆ มักจะนิยมใช้ทรานซิสเตอร์มาต่อกันแบบคาร์ลิงตัน ลักษณะของวงจร คือ ทรานซิสเตอร์ 2 ตัวต่อกัน ดังรูปที่ 3.14 ซึ่งจะทำให้ค่าอัตราขยายกระแส ( $h_{FE}$ ) เพิ่มขึ้น



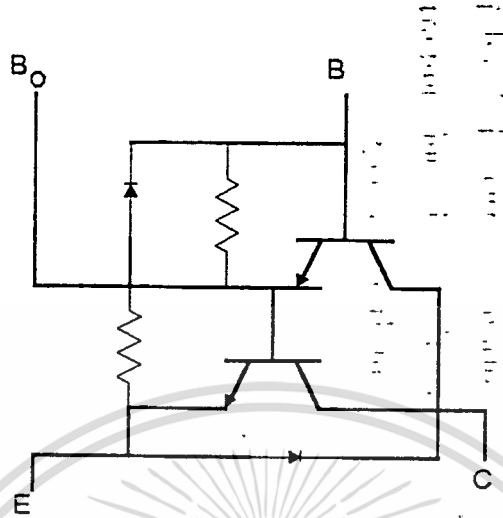
รูปที่ 3.14 (ก) วงจรคู่คาร์ลิงตันชนิด NPN (ข) วงจรคู่คาร์ลิงตันชนิด PNP

พิจารณาชนิด NPN กระแสอิมิตเตอร์ของทรานซิสเตอร์ตัวแรกจะมาเข้าเบสของทรานซิสเตอร์ตัวที่สอง ดังนั้นกระแสคอลเลคเตอร์ในทรานซิสเตอร์ตัวที่สอง คือ

$$I_C = h_{FE1} * h_{FE2} * I_B$$

หรืออีกความหมายหนึ่งคือ วงจรคู่คาร์ลิงตันจะมีค่า  $h_{FE}$  ทั้งหมดเท่ากับผลคูณของค่า  $h_{FE}$  แต่ละตัวของทรานซิสเตอร์

การออกแบบแพคเกจทรานซิสเตอร์  
ทรานซิสเตอร์ที่ใช้ในโครงการนี้ อาจารย์ที่ปรึกษาเป็นผู้จัดหาให้ สามารถทนกระแสคอลเลคเตอร์ต่อเนื่อง ได้ถึง 300 แอมแปร์ และอัตราการทนแรงดันระหว่างคอลเลคเตอร์กับอิมิตเตอร์ 500 โวลต์ ลักษณะของทรานซิสเตอร์จะต่อกันแบบคาร์ลิงตัน ดังรูปที่ 3.15



รูปที่ 3.15 แสดงทรานซิสเตอร์คาร์ลิงตันที่ใช้ในโครงการนี้

ส่วนรายละเอียด (specification) ไม่สามารถจัดหาได้ แต่การออกแบบได้คำนวณโดยใช้กระแสเบสโดยประมาณ 1 แอมแปร์ เพื่อให้ทรานซิสเตอร์สามารถทำงานได้ ส่วนรายละเอียดของการควบคุมการขับจะอยู่ในบทต่อไป

### บทที่ 4

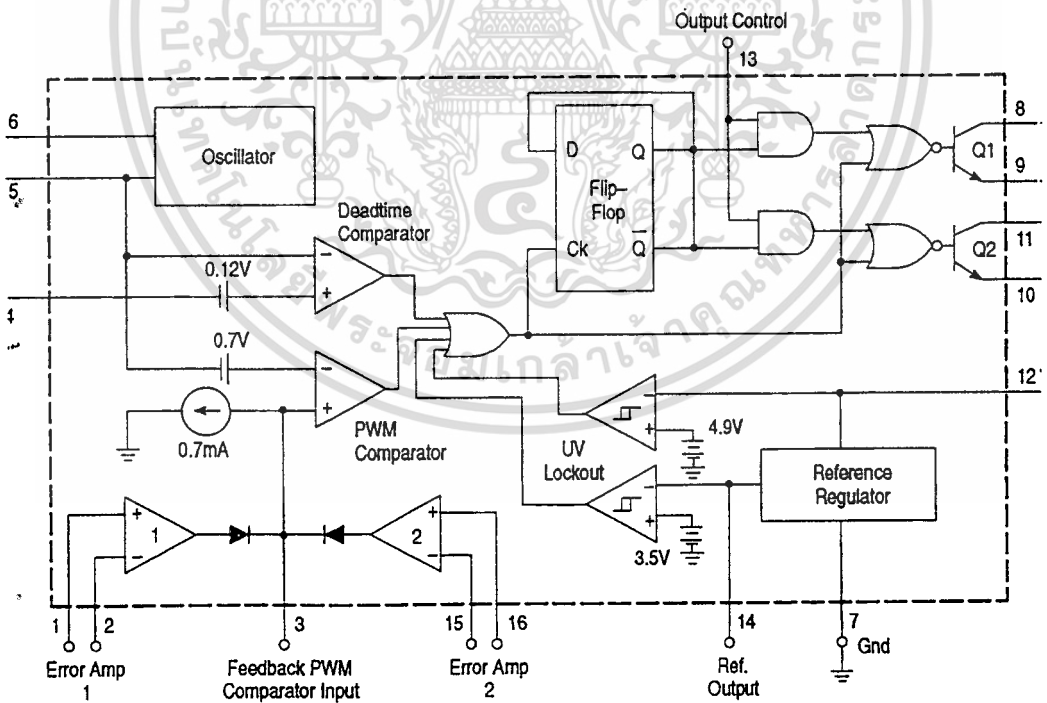
### วงจรควบคุม

#### 4.1 วงจรควบคุม

วงจรควบคุมทำหน้าที่สร้างสัญญาณเพื่อไปขับเบสของทรานซิสเตอร์ โดยวงจรสร้างสัญญาณพัลส์สี่เหลี่ยมซึ่งปรับความถี่ไซเคิลได้เพื่อควบคุมแรงดันเอาต์พุตที่จ่ายให้กับดีซีมอเตอร์ ในส่วนของวงจรควบคุมจะประกอบไปด้วยวงจรถ่ายโอนพัลส์สี่เหลี่ยมปรับค่าความถี่ไซเคิลได้ วงจรหิมิตริกเกอร์ เพื่อให้สัญญาณที่ได้จากวงจรถ่ายโอนพัลส์สี่เหลี่ยมมีสัญญาณที่ดีขึ้น และวงจรถับเบสของทรานซิสเตอร์

#### 4.2 วงจรกำเนิดพัลส์สี่เหลี่ยมปรับความถี่ไซเคิลได้

วงจรในส่วนนี้ทำหน้าที่กำเนิดพัลส์สี่เหลี่ยมซึ่งสามารถปรับความกว้างของพัลส์ได้ ซึ่งทำงานโดยใช้ไอซี TL494 ซึ่งได้แสดงวงจรภายในของไอซีดังรูปที่ 4.1



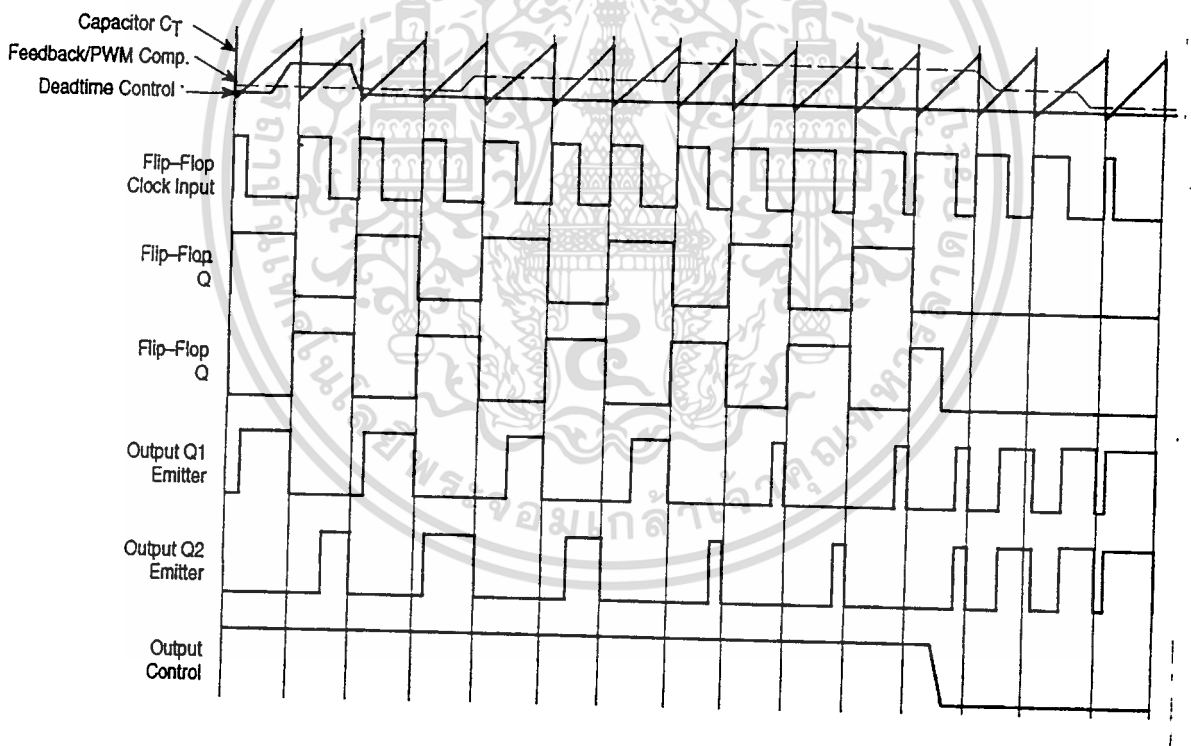
รูปที่ 4.1 บล็อกไดอะแกรมแสดงวงจรภายในไอซี TL494

เอกสารนี้เป็นเอกสารที่สงวนไว้สำหรับการใช้งานเพื่อการศึกษาเท่านั้น ไม่อนุญาตให้นำไปใช้ประโยชน์ด้านการค้า ไม่ว่าจะกรณีใดๆ ทั้งสิ้น อีกทั้งห้ามมิให้ตัดแปลงเนื้อหา และต้องอ้างอิงถึงเจ้าของเอกสารทุกครั้งที่มีการนำไปใช้

ไอซีเบอร์นี้ถูกออกแบบมาให้สามารถใช้งานได้หลายความถี่ และสามารถปรับความถี่ได้ โดยการปรับความถี่และการปรับความถี่ไม่ขึ้นแก่กัน สำหรับวงจรนี้จะกำหนดให้ความถี่ของพัลส์สี่เหลี่ยมมีค่าคงที่ซึ่งคำนวณได้จากสูตรดังนี้

$$f_{osc} = \frac{1.1}{R_T * C_T}$$

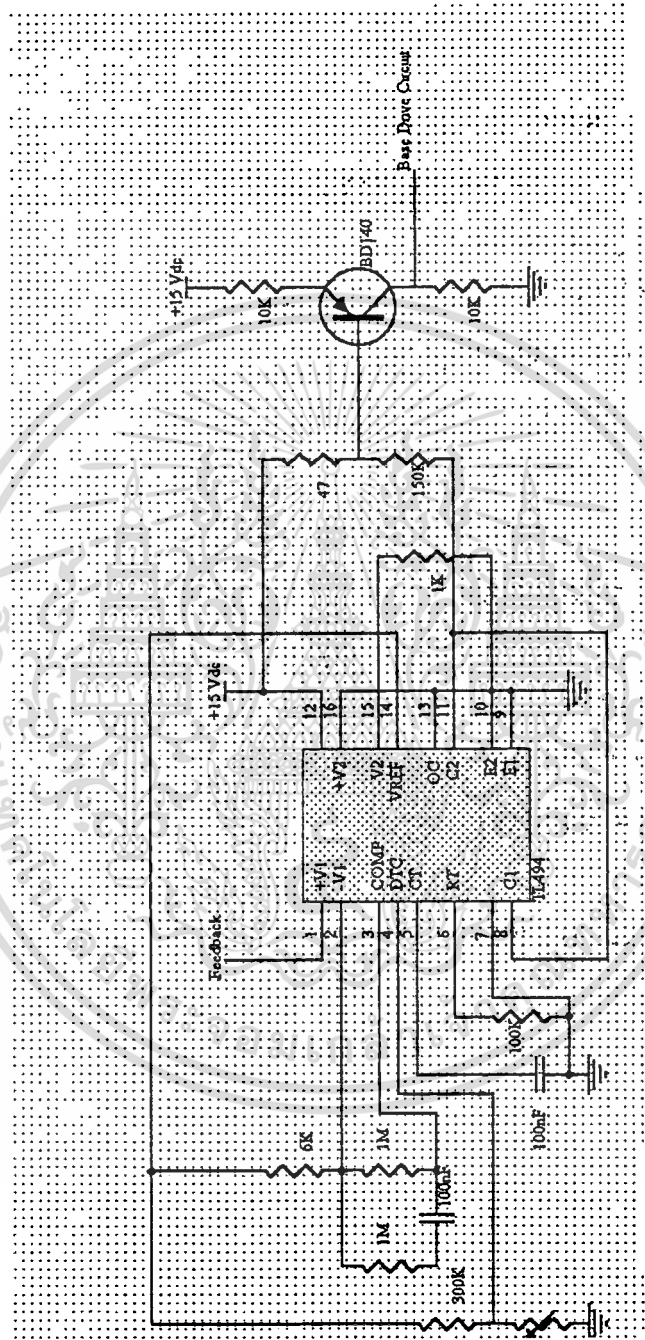
โดยในวงจรนี้เรากำหนดโดยใช้ความถี่ 1250 กิโลเฮิร์ต การปรับค่าความกว้างของพัลส์ทำได้โดยการเปรียบเทียบสัญญาณรูปสามเหลี่ยมกับสัญญาณที่มีค่าคงที่ โดยสัญญาณที่มีค่าคงที่จะถูกป้อนที่ขา 4 ของไอซี(ขา Deadtime Control) ซึ่งแสดงรูปของสัญญาณ (Timing Diagram) ของไอซีดังรูปที่ 4.2



รูปที่ 4.2 แสดงสัญญาณของไอซี TL494

เอกสารนี้เป็นเอกสารที่สงวนไว้สำหรับการใช้งานเพื่อการศึกษาเท่านั้น ไม่อนุญาตให้นำไปใช้ประโยชน์ด้านการค้า ไม่ว่าจะกรณีใดๆ ทั้งสิ้น อีกทั้งห้ามมิให้ดัดแปลงเนื้อหา และต้องอ้างอิงถึงเจ้าของเอกสารทุกครั้งที่มีการนำไปใช้

สำหรับการต่อวงจรกำเนิดสัญญาณพัลส์สี่เหลี่ยมซึ่งสามารถปรับความกว้างของพัลส์ได้แสดงดังรูปที่ 4.3



รูปที่ 4.3 วงจรกำเนิดพัลส์สี่เหลี่ยมปรับความถี่ได้

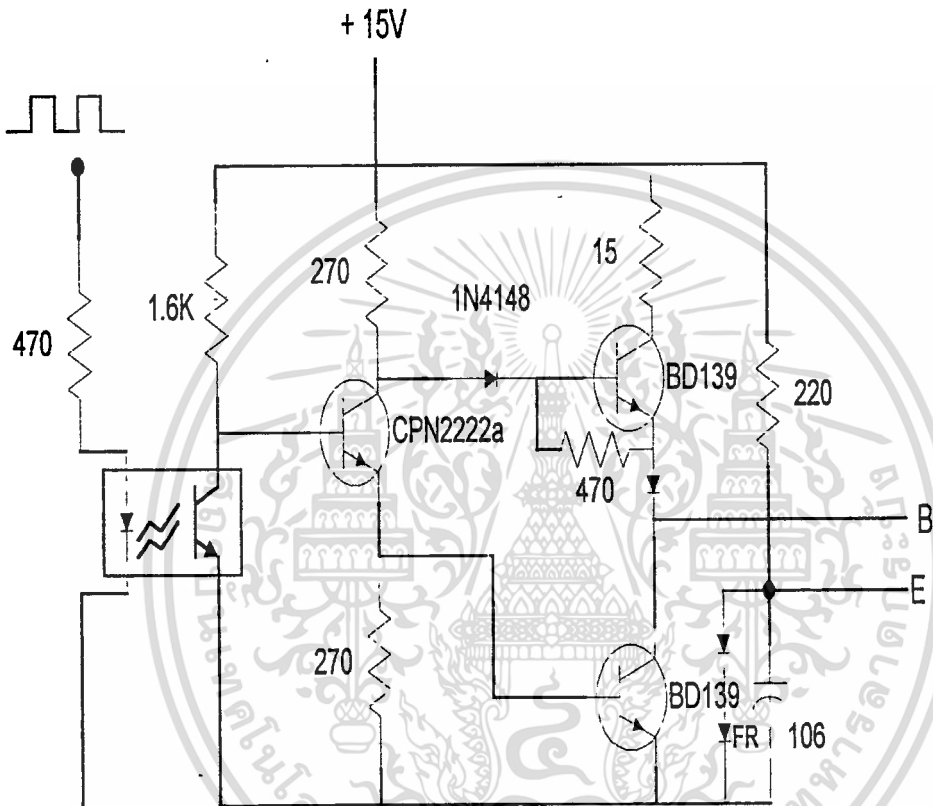
เอกสารนี้เป็นเอกสารที่สงวนไว้สำหรับการใช้งานเพื่อการศึกษาเท่านั้น ไม่อนุญาตให้นำไปใช้ประโยชน์ด้านการค้าไม่ว่ากรณีใดๆ ทั้งสิ้น อีกทั้งห้ามมิให้ตัดแปลงเนื้อหา และต้องอ้างอิงถึงเจ้าของเอกสารทุกครั้งที่มีการนำไปใช้

จากวงจรในรูปที่ 4.3 การปรับควิตซ์ไชเกิลสามารถทำได้โดยการปรับสัญญาณแรงดันซึ่งปรับค่าได้ที่ขา 4 ของไอซีสำหรับในวงจรนี้แรงดันสามารถปรับได้ โดยการใช้ความต้านทานปรับค่าได้ ซึ่งได้ออกแบบโดยทำเป็นคันเร่ง ซึ่งเมื่อเหยียบคันเร่งจะทำให้ความต้านทานเปลี่ยนแปลงไป ในส่วนของขา 1 เป็นส่วนรับสัญญาณป้อนกลับเพื่อใช้ในส่วนการป้องกันกระแสเกินพิกัดของดีซีมอเตอร์ โดยกระแสจะถูกเปลี่ยนเป็นแรงดันแล้วถูกป้อนเข้ามาที่ขา 1 นี้ เมื่อกระแสมีค่ามากเกินไปแรงดันที่ถูกป้อนกลับเข้ามาก็จะมีค่ามาก สัญญาณนี้จะถูกนำไปเปรียบเทียบกับในวงจรเปรียบเทียบ โดยถ้าสัญญาณแรงดันที่ถูกป้อนกลับเข้ามามีค่ามากกว่า ขนาดของสัญญาณสามเหลี่ยมของไอซีควิตซ์ไชเกิลจะมีค่าเป็นศูนย์

#### 4.3 วงจรขับเบส

วงจรขับเบสแสดงดังรูปที่ 4.4 นี้จะออกแบบสำหรับใช้ขับขาเบสของทรานซิสเตอร์กำลัง ซึ่งเป็นชนิดโมดูลโดยภายในต่อเป็นวงจรคาร์ลิงตัน ดังนั้นจึงมีกระแสสูง ซึ่งเหมาะในการนำมาใช้ขับมอเตอร์ดีซีเพราะทรานซิสเตอร์ที่ไม่มีการต่อวงจรภายในเป็นแบบคาร์ลิงตัน จะมีอัตราการขยายกระแสต่ำกว่า ในส่วนของวงจรขับเบสจะประกอบไปด้วยส่วนต่าง ๆ คือวงจรซมิตริกเกอร์ ซึ่งใช้ในการทำให้สัญญาณที่ได้จากวงจรกำเนิดพัลส์สี่เหลี่ยมปรับค่าได้มีสัญญาณที่ดีขึ้น ส่วนแยกกราวด์ระหว่างวงจรควบคุมเพื่อป้องกันการรบกวนกันโดยใช้ไอซีออฟไดคัปเปิลเบอร์ 4N25 และ ส่วนของวงขับเบส

## BASE DRIVE CIRCUIT



รูปที่ 4.4 วงจรขับเบส

เอกสารนี้เป็นเอกสารที่สงวนไว้สำหรับการใช้งานเพื่อการศึกษาเท่านั้น ไม่อนุญาตให้นำไปใช้ประโยชน์ด้านการค้า  
ไม่ว่ากรณีใดๆ ทั้งสิ้น อีกทั้งห้ามมิให้ดัดแปลงเนื้อหา และต้องอ้างอิงถึงเจ้าของเอกสารทุกครั้งที่มีการนำไปใช้

## บทที่ 5

## การคำนวณค่าตัวเหนี่ยวนำและตัวเก็บประจุ

## 5.1 การคำนวณค่าตัวเหนี่ยวนำ

ตัวแปรต่าง ๆ มีค่าดังต่อไปนี้

1. แรงดันขาเข้า ( $V_s$ ) = 48 V
2. แรงดันขาออกเฉลี่ย ( $V_a$ ) = 24 V
3. ค่าแรงดันกระแสเพิ่ม ( $\Delta V_c$ ) = 20 mV
4. ค่ากระแสเพิ่ม ( $\Delta I$ ) = 5 A
5. ความถี่ที่ใช้งาน ( $f$ ) = 1250 Hz

## 1. คำนวณค่าความเหนี่ยวนำ (Inductance Calculation)

จากสมการ 
$$L = \frac{V_a(V_s - V_a)}{\Delta I f V_s}$$

$$L = \frac{24(48 - 24)}{5 \times 1250 \times 48}$$

$$L = 1.92 \text{ mH}$$

∴ เราจึงเลือกใช้ตัวเหนี่ยวนำขนาด 2 mH

## 5.2 การคำนวณค่าตัวเก็บประจุ (Capacitance Calculation)

จากสมการ 
$$C = \frac{\Delta I}{8 f \Delta V_c}$$

$$C = \frac{5}{8 \times 1250 \times 20 \times 10^{-3}}$$

$$C = 25000 \text{ } \mu\text{F}$$

เอกสารนี้เป็นเอกสารที่สงวนไว้สำหรับการใช้งานเพื่อการศึกษาเท่านั้น ไม่อนุญาตให้นำไปใช้ประโยชน์ด้านการค้า  
ไม่ว่ากรณีใดๆ ทั้งสิ้น อีกทั้งห้ามมิให้ตัดแปลงเนื้อหา และต้องอ้างอิงถึงเจ้าของเอกสารทุกครั้งที่มีการนำไปใช้

∴ เราจึงเลือกใช้ตัวเก็บประจุขนาด 25000  $\mu\text{F}$

### 5.3 การออกแบบตัวเหนี่ยวนำ ( Inductor Design )

ในการออกแบบตัวเหนี่ยวนำมีหลายวิธีในการออกแบบซึ่งในการออกแบบตัวเหนี่ยวนำจะขึ้นอยู่กับปัจจัยต่อไปนี้

1. ค่าความเหนี่ยวนำ
2. ขนาดของกระแสตรง
3. กระแสสลับ  $\Delta I$
4. พลังงานสูญเสียและการเพิ่มของอุณหภูมิ

จากนั้นเราต้องพิจารณาค่าสูงสุดของ  $B_{dc}$  และ  $B_{AC}$  ที่จะไม่ทำให้เกิดการอิ่มตัว โดยชนิดของแกนจะเป็นตัวกำหนดความเข้มเส้นแรงแม่เหล็กสูงสุด ( $B_{max}$ ) ดังแสดงในตารางที่ 5.1

Material		Flux density, T
Magnesil	3%Si, 97%Fe	1.6
Orthonol	50%Ni, 50%Fe	1.5
48 Alloy	48%Ni, 50%Fe	1.2
Permalloy	79%Ni, 17%Fe, 4%Mo	0.75

ตารางที่ 5.1 ค่าความหนาแน่นสนามแม่เหล็กสูงสุดของแกน

$$\text{ดังนั้น } \vec{B}_{max} = B_{dc} + B_{AC}$$

ตัวเหนี่ยวนำมีช่องว่างอากาศซึ่งทำให้ทำให้เราไม่พิจารณาความยาวของแกน ( $l_m$ )

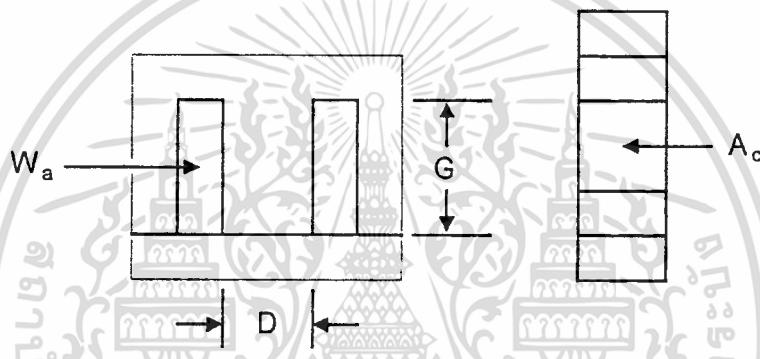
$$L = \frac{0.4N^2 A_C * 10^{-8}}{l_g} \quad [\text{Henry}]$$

การกำหนดช่องอากาศต้องพิจารณาจากผลของเส้นแรงแม่เหล็กที่เบี่ยงเบนไปจากเดิม (Fringing Flux) เส้นแรงแม่เหล็กเบี่ยงเบนนี้จะไปลดค่าความต้านทานแม่เหล็ก ดังนั้นค่าความเหนี่ยวนำจะเพิ่มขึ้นซึ่งจะได้สมการใหม่เป็น

$$L = \frac{0.4N^2 A_C F * 10^{-8}}{l_g} \quad [\text{Henry}]$$

$$F (\text{Fringing Flux}) = 1 + \frac{l_g \ln(2G)}{\sqrt{A_C} l_g}$$

พิจารณาเฉพาะแกน EI



รูปที่ 5.1 ลักษณะของแกน EI

หลังจากที่คำนวณหาขนาดของตัวเหนี่ยวนำที่ต้องการแล้ว เราก็จะมาถึงค่าของพลังงานซึ่งถูกควบคุมโดยพื้นที่  $A_p$

$$\frac{LI^2}{2} = \text{พลังงาน (วัตต์-วินาที)}$$

และ  $A_p = \frac{[2(\text{พลังงาน}) * 10^4]^{1.16}}{B_m K_U K_f} \quad [\text{cm}]^2$

$$B_m K_U K_f$$

$B_m$  : ค่าความหนาแน่นของเส้นแรงแม่เหล็กสูงสุด ( $B_{dc} + B_{AC}$ )

$K_U$  : window utilization factor หรือ ค่าขีดจำกัดของหน้าต่าง = 0.5

$K_f$  : ค่าสัมประสิทธิ์ความหนาแน่นกระแส ดูตามตารางที่ 5.2

Core	Losses	$K_j(25\text{ c})$	$K_j(50\text{ c})$	(x)	$K_s$	$K_w$	$K_u$
Pot core	$P_{cu} = P_{fe}$	433	632	-0.17	33.8	48.0	14.5
Powder core	$P_{cu} = P_{fe}$	403	590	-0.12	32.5	58.8	13.1
Lamination	$P_{cu} = P_{fe}$	366	534	-0.12	41.3	68.2	19.7
C core	$P_{cu} = P_{fe}$	323	468	-0.14	39.2	66.6	17.9
Single-coil	$P_{cu} = P_{fe}$	395	569	-0.14	44.5	76.6	25.6
Tape-wound core	$P_{cu} = P_{fe}$	250	365	-0.13	50.9	82.3	25.0

ตารางที่ 5.2 แสดงค่าสัมประสิทธิ์ของแกนแบบต่าง ๆ

การคำนวณตัวเหนี่ยวนำโดยใช้วิธี Area Product  $A_p$

รายละเอียดของตัวเหนี่ยวนำที่จะใช้ในวงจรบั๊กเรคทิวเลเตอร์

1. ค่าความเหนี่ยวนำ  $L = 2\text{ mH}$
2. กระแสตรง  $I_0 = 90\text{ A}$
3. กระแสสลับ  $\Delta I = 5\text{ A}$
4. ความถี่ที่ใช้  $f = 1250\text{ Hz}$
5. ความหนาแน่นเส้นแรงแม่เหล็ก  $B_m = 1.3\text{ T}$
6. อุณหภูมิเพิ่ม  $= 25\text{ }^\circ\text{C}$
7. วัสดุที่ใช้ทำแกนคือเหล็ก
8. แบบของแกนคือแกน EI

ขั้นที่ 1 คำนวณค่าพลังงาน

$$\text{พลังงาน} = \frac{LI^2}{2} \text{ W-S}$$

$$I = I_0 + \frac{\Delta I}{2} \text{ A}$$

$$I = 90 + \frac{5}{2}$$

$$I = 92.5 \text{ A}$$

เอกสารนี้เป็นเอกสารที่สงวนไว้สำหรับการใช้งานเพื่อการศึกษาเท่านั้น ไม่อนุญาตให้นำไปใช้ประโยชน์ด้านการค้า  
ไม่ว่ากรณีใดๆ ทั้งสิ้น อีกทั้งห้ามมิให้ตัดแปลงเนื้อหา และต้องอ้างอิงถึงเจ้าของเอกสารทุกครั้งที่มีการนำไปใช้

$$\begin{aligned} \text{พลังงาน} &= \frac{(0.002)(92.5)^2}{2} \\ &= 8.556 \text{ W-S} \end{aligned}$$

ขั้นที่ 2 คำนวณค่า Area Product  $A_p$

$$A_p = \frac{[2(\text{พลังงาน}) * 10^4]^{1.16}}{B_m K_U K_f} \text{ cm}^2$$

$$K_w = 0.5$$

$$A_p = \frac{[2(8.56) * 10^4]^{1.16}}{1.3 * 0.5 * 450} \text{ cm}^2$$

$$A_p = 1621.5 \text{ cm}^2$$

ขั้นที่ 3 เลือกแกนที่มีพื้นที่  $A_p$  ใกล้เคียงกับที่คำนวณ (สามารถดูได้จากข้อมูลของแกน)

ใช้แกน 1-20EI

$$A_p = 1829.14 \text{ cm}^2$$

$$\text{MLT (ระยะทางเฉลี่ยของขดลวดต่อหนึ่งรอบ)} = 41.6 \text{ cm}$$

$$A_c (\text{พื้นที่ขากลางของแกน}) = 4.32 \text{ cm}^2$$

$$W_a (\text{พื้นที่ของหน้าตัด}) = 45.36 \text{ cm}^2$$

$$A_f (\text{พื้นที่ผิวทั้งหมดของแกน}) = 1673.4 \text{ cm}^2$$

$$\text{MPL (ระยะทางของเส้นแรงแม่เหล็ก)} = 41.3 \text{ cm}$$

$$W_{TFe} (\text{น้ำหนักของแกน}) = 12.699 \text{ kg}$$

$$G = 9.525 \text{ cm}$$

ขั้นที่ 4 กำหนดค่าความหนาแน่นของกระแส (J)

$$\text{กำหนดให้ } J = 400 \text{ A/cm}^2$$

ขั้นที่ 5 กำหนดขนาดของตัวนำเปลือย

$$A_{w(B)} = I_0 + \Delta I / 2 \text{ cm}^2$$

$$A_{w(B)} = \frac{90 + 2.5}{400}$$

$$A_{w(B)} = 0.23125 \text{ cm}^2$$

ขั้นที่ 6 เลือกขนาดของตัวนำ

SWG.NO.10 3 เส้น

$$\text{ขนาดตัวนำเปลือย } = 0.25194 \text{ cm}^2$$

เอกสารนี้เป็นเอกสารที่สงวนไว้สำหรับกรใช้งานเพื่อการศึกษาเท่านั้น ไม่อนุญาตให้นำไปใช้ประโยชน์ด้านการค้า  
ไม่ว่ากรณีใดๆ ทั้งสิ้น อีกทั้งห้ามมิให้ดัดแปลงเนื้อหา และต้องอ้างอิงถึงเจ้าของเอกสารทุกครั้งที่มีการนำไปใช้

$$\text{ขนาดตัวนำพร้อมฉนวน} = 0.28 \text{ cm}^2$$

ขั้นที่ 7 คำนวณพื้นที่หน้าต่างประสิทธิภาพ (Effective window area,  $W_a(\text{eff})$ )

$$W_a(\text{eff}) = W_a S_3 \quad \text{cm}^2$$

$$S_3 : \frac{\text{พื้นที่หน้าต่างที่สามารถใช้งานได้}}{\text{พื้นที่หน้าต่าง}} = 0.75$$

$$\begin{aligned} W_a(\text{eff}) &= (45.36)(0.75) \\ &= 34.02 \quad \text{cm}^2 \end{aligned}$$

ขั้นที่ 8 คำนวณจำนวนรอบ โดยใช้พื้นที่ตัวนำ  $A_w$

$$N = \frac{W_a(\text{eff}) S_2}{A_w}$$

$$S_2 : \frac{\text{พื้นที่พื้นขดลวด}}{\text{พื้นที่หน้าต่างที่สามารถใช้ได้}}$$

$$\begin{aligned} N &= \frac{(34.02)(0.6)}{0.56} \\ &= 37 \text{ รอบ} \end{aligned}$$

ขั้นที่ 9 คำนวณหาความกว้างของช่อง

$$l_g = \frac{0.4N^2 A_c \cdot 10^{-8}}{L} \quad [\text{Henry}]$$

$$l_g = \frac{0.4(37)^2 40.32 \cdot 10^{-8}}{.002} \quad [\text{Henry}]$$

$$= 0.347 \text{ cm}$$

เรานำแผ่นเบคคาไลต์มาใช้เพื่อทำให้มีช่องห่าง

ขั้นที่ 10 คำนวณค่าเส้นแรงแม่เหล็กเบี่ยงเบน

$$F (\text{Fringing Flux}) = 1 + \frac{l_g \ln(2G)}{\sqrt{A_c} l_g}$$

$$F (\text{Fringing Flux}) = 1 + \frac{0.347 \ln [2(9.525)]}{\sqrt{40.32} \cdot 0.347}$$

เอกสารนี้เป็นเอกสารที่สงวนไว้สำหรับการใช้งานเพื่อการศึกษาเท่านั้น ไม่อนุญาตให้นำไปใช้ประโยชน์ด้านการค้า  
ไม่ว่ากรณีใดๆ ทั้งสิ้น อีกทั้งห้ามมิให้ดัดแปลงเนื้อหา และต้องอ้างอิงถึงเจ้าของเอกสารทุกครั้งที่มีการนำไปใช้

$$= 1.218$$

ขั้นที่ 11 คำนวณจำนวนรอบใหม่โดยการพิจารณาเส้นแรงแม่เหล็กเบี่ยงเบน

$$N^2 = \frac{I_g L}{0.4 \prod A_c F * 10^{-8}}$$

$$N^2 = \frac{(0.347)(0.002)}{(1.26)(40.32)(1.218)10^{-8}}$$

$$N = 34 \text{ รอบ}$$

ขั้นที่ 12 คำนวณค่าความต้านทานของขดลวด ( ทองแดง )

$$R = \frac{1.2 \rho M L T * N}{A}$$

$$= \frac{1.2 * 1.724 * 10^{-6} * 41.6 * 34}{0.25194}$$

$$= 0.0116 \Omega$$

ขั้นที่ 13 คำนวณความสูญเสียในขดลวด ( Copper Loss ,P<sub>cu</sub> )

$$P_{cu} = I^2 R \quad W$$

$$= 92.5^2 * 0.0116$$

$$= 92.25 \quad W$$

ขั้นที่ 14 คำนวณค่าความหนาแน่นเส้นแรงแม่เหล็ก

$$B_m = \frac{0.4 \prod N [ I_{dc} + \frac{\Delta I}{2} ] * 10^{-4}}{l_g} \quad T$$

$$= \frac{1.26 * 34 (90 + 5) * 10^{-4}}{0.347 \quad 2}$$

$$= 1.14 \quad T$$

ขั้นที่ 15 คำนวณหาค่าความหนาแน่นเส้นแรงแม่เหล็ก ac

$$B_m = \frac{0.4 \prod N [\Delta I] * 10^{-4}}{l_g \quad 2} \quad T$$

$$= \frac{1.26 * 34 * 2.5 * 10^{-4}}{0.347}$$

$$= 0.03 \quad T$$

เอกสารนี้เป็นเอกสารที่สงวนไว้สำหรับกรใช้งานเพื่อการศึกษาเท่านั้น ไม่อนุญาตให้นำไปใช้ประโยชน์ด้านการค้า  
ไม่ว่ากรณีใดๆ ทั้งสิ้น อีกทั้งห้ามมิให้ดัดแปลงเนื้อหา และต้องอ้างอิงถึงเจ้าของเอกสารทุกครั้งที่มีการนำไปใช้

ตั้งนั้นจากการคำนวณ

จะใช้แกนขนาด	2 นิ้ว
ขดลวดใช้เบอร์ SWG10	ตีเกลียว 3 เส้น
จำนวนรอบ	34 รอบ
ช่องว่างอากาศ	3.47 mm



เอกสารนี้เป็นเอกสารที่สงวนไว้สำหรับการใช้งานเพื่อการศึกษาเท่านั้น ไม่อนุญาตให้นำไปใช้ประโยชน์ด้านการค้า  
ไม่ว่ากรณีใดๆ ทั้งสิ้น อีกทั้งห้ามมิให้ดัดแปลงเนื้อหา และต้องอ้างอิงถึงเจ้าของเอกสารทุกครั้งที่มีการนำไปใช้

## บทที่ 6

### การควบคุมความเร็วมอเตอร์ไฟฟ้ากระแสตรง

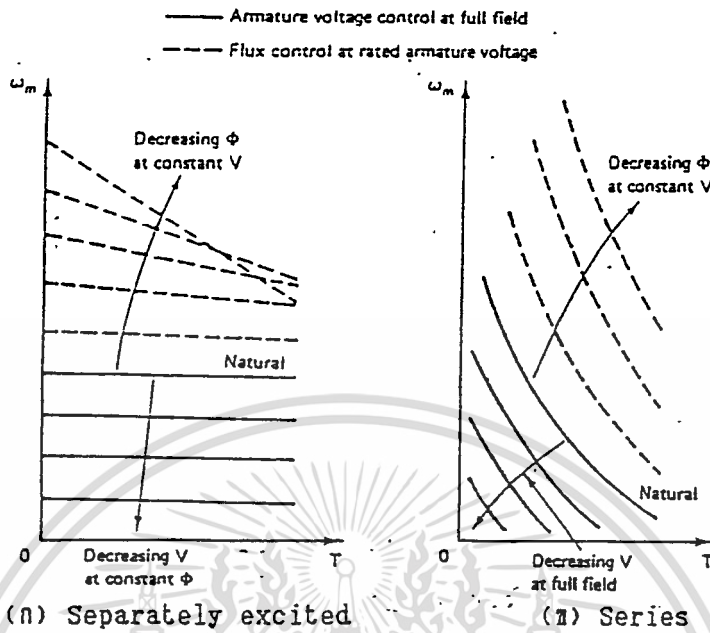
เราสามารถควบคุมความเร็วของมอเตอร์กระแสตรงได้ 3 วิธี คือ

#### 6.1 การควบคุมแรงดันอาเมเจอร์ ( Armature Voltage Control )

ถ้าแรงดันของอาเมเจอร์ของมอเตอร์ไฟฟ้ากระแสตรง ที่เป็นแบบขดลวดสร้างสนามแม่เหล็กอนุกรม ที่กำลังหมุนอยู่มีค่าน้อยลง กระแสอาร์เมเจอร์จะลดลงส่งผลให้แรงบิดของมอเตอร์ลดลงไปด้วย ในขณะที่แรงบิดของมอเตอร์น้อยกว่าแรงบิดที่โหลดต้องการมอเตอร์จะเกิดความหน่วง เป็นผลทำให้ความเร็วและแรงดันต้านกลับ ( Back Emf ) ลดลงเรื่อย ๆ จนกระทั่งแรงบิดของมอเตอร์เท่ากับแรงบิดที่โหลดต้องการ ถ้าแรงดันอาเมเจอร์ของมอเตอร์กระแสตรงลดลงมาก ๆ ซึ่งอาจน้อยกว่าแรงดันต้านกลับ ณ จุดนี้เองทำให้กระแสอาเมเจอร์จะไหลกลับทางในขณะนั้นมอเตอร์ก็จะทำงานเป็นเครื่องกำเนิดไฟฟ้า สร้างแรงบิดที่ตรงข้ามกับ ตอนที่ เป็นมอเตอร์ จนกระทั่งความเร็วของมอเตอร์ตกลงถึงค่าที่ทำให้แรงดันต้านกลับ มีค่าเท่ากับแรงดันอาเมเจอร์ ส่วนในกรณีของมอเตอร์ขดลวดสร้างสนามแม่เหล็กอนุกรมเมื่อแรงดันอาเมเจอร์มีค่าลดลงมาก ๆ มันจะไม่ทำงานเป็นเครื่องกำเนิดไฟฟ้า แต่ที่เกิดความหน่วงขึ้นเพราะว่าแรงบิดของมอเตอร์ต่ำกว่าแรงบิดของโหลดที่ต้องการ

ถ้าแรงดันอาเมเจอร์ของมอเตอร์กระแสตรงที่หมุนอยู่ ณ สภาวะคงที่เพิ่มขึ้น ก็จะทำให้กระแสอาเมเจอร์เพิ่มขึ้น ทำให้แรงบิดของมอเตอร์กระแสตรงเพิ่มขึ้น มอเตอร์จะเกิดอัตราเร่งทำให้ความเร็วของมอเตอร์และแรงดันต้านกลับเพิ่มขึ้น จนกระทั่งเข้าสู่จุดสมดุลใหม่คือ แรงบิดของมอเตอร์เท่ากับแรงบิดที่โหลดต้องการ ที่ความเร็วสูงขึ้นกว่าเดิม

ขณะเพิ่มหรือลดความเร็ว แรงดันอาร์เมเจอร์ควรจะเปลี่ยนทีละน้อย ๆ เพราะการเปลี่ยนแรงดันอาเมเจอร์ทีละมก ๆ นั้น เป็นสาเหตุให้กระแสไหลผ่านอาเมเจอร์มาก ซึ่งจุดนี้อาจจะทำความเสียหายให้กับคอมมิวเตเตอร์ หรือลวดอายุการใช้งานของมอเตอร์ลงได้



รูปที่ 6.1 แสดงกราฟ speed-torque ของมอเตอร์แบบแยกขดลวดกระตุ้นและมอเตอร์ขดลวดสร้างสนามแม่เหล็กอนุกรม

วิธีการลดแรงดันอาร์เมเจอร์ มอเตอร์สามารถทำงานที่ความเร็ว-แรงบิด ใดๆ ก็ได้ คุณสมบัติที่สำคัญของการควบคุมความเร็วแบบนี้คือ ความสัมพันธ์ระหว่างความเร็วและแรงบิด และความชันของกราฟความเร็วและแรงบิด จะไม่เปลี่ยนแปลงตลอดความเร็ว อีกทั้งยังเหมาะสมกับการควบคุมแบบควบคุมแรงบิดให้คงที่ เพราะกระแสอาร์เมเจอร์สามารถปรับถึงจุดสูงได้ตลอด การปรับความเร็วเช่นเดียวกัน นั้นแสดงว่ามอเตอร์จะให้แรงบิดได้เท่ากับขนาดของโหลด ไม่ว่าจะมีความเร็วเท่าใดก็ตาม

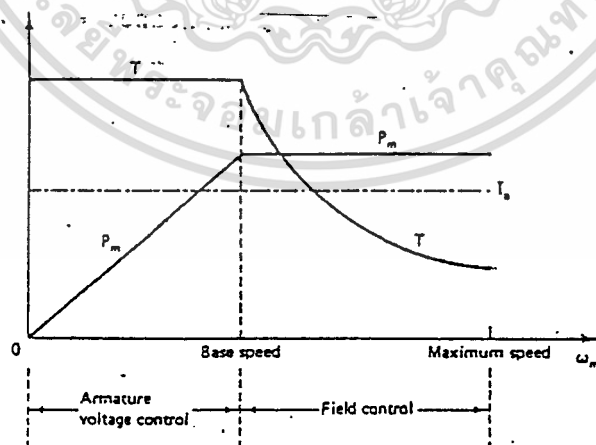
6.2 การควบคุมสนามแม่เหล็ก ( Field Flux Control )

ถ้าสนามแม่เหล็กของมอเตอร์กระแสตรงแบบแยกขดลวดกระตุ้นหรือแบบซีรีย์ที่กำลังหมุนอยู่ ณ ความเร็วหนึ่งช้าลง จะทำให้แรงดันเหนี่ยวนำน้อยลง และเนื่องจากความต้านทานอาร์เมเจอร์มีค่าต่ำจึงทำให้กระแสเพิ่มขึ้นมากกว่าการลดลงของสนามแม่เหล็ก เป็นผลให้แรงบิดของมอเตอร์เพิ่มขึ้นมากด้วย ซึ่งจะมากกว่าแรงบิดที่โหลดต้องการทำให้มอเตอร์มีความเร่งเพิ่มขึ้นและแรงดันด้านกลับเพิ่มขึ้น จนกระทั่งมอเตอร์เข้าสู่จุดสมดุลใหม่ที่ความเร็วสูงกว่าเดิม ที่ซึ่งแรงบิดของมอเตอร์เท่ากับแรงบิด ที่โหลดต้องการอีกครั้ง การที่สนามแม่เหล็กลดลงมากทำให้กระแส

เอกสารนี้เป็นเอกสารที่สงวนไว้สำหรับการใช้งานเพื่อการศึกษาเท่านั้น ไม่อนุญาตให้นำไปใช้ประโยชน์ด้านการค้า ไม่ว่ากรณีใดๆ ทั้งสิ้น อีกทั้งห้ามมิให้ดัดแปลงเนื้อหา และต้องอ้างอิงถึงเจ้าของเอกสารทุกครั้งที่มีการนำไปใช้

ไหลสูงขึ้นมาก อาจทำให้เกิดความเสียหาย ดังนั้นเราควรปรับสนามแม่เหล็กให้ลดลงทีละน้อยอย่างช้า ๆ สำหรับมอเตอร์แบบขดลวดสร้างสนามแม่เหล็กอนุกรม การเพิ่มสนามแม่เหล็กจะทำให้กระแสกระแสอาร์เมเจอร์ลดลงมากเพราะแรงบิดของมอเตอร์ต่ำกว่าแรงบิด ที่โหลดต้องการมอเตอร์จึงเกิดความหน่วงความเร็วลดลง จนกระทั่งแรงบิดของมอเตอร์ เท่ากับแรงบิดที่โหลดต้องการ สำหรับมอเตอร์แบบแยกขดลวดกระตุ้น เราสามารถควบคุมสนามแม่เหล็ก โดยการปรับแรงดันตกคร่อม ขดขดลวดสร้างสนามแม่เหล็ก สำหรับมอเตอร์แบบซิงค์ขนาดเล็กเราสามารถควบคุมสนามแม่เหล็ก โดยการต่อตัวต้านทานปรับค่าได้ในขดลวดสร้างสนามแม่เหล็ก สำหรับมอเตอร์แบบขดลวดสร้างสนามแม่เหล็กอนุกรม เราควบคุมสนามแม่เหล็กได้โดยการต่อความต้านทาน คร่อมขดลวดสร้างสนามแม่เหล็ก ซึ่งในมอเตอร์แบบขดลวดสร้างสนามแม่เหล็กอนุกรมบางตัวจะมีการแทปบนขดลวดสร้างสนามแม่เหล็ก ซึ่งเราสามารถควบคุมความเร็วได้โดยการเปลี่ยนจำนวนรอบของขดลวดสร้างสนามแม่เหล็กได้

ในระบบขับเคลื่อนที่ต้องการควบคุมความเร็วในช่วงกว้างมาก ๆ เราอาจใช้การควบคุมแรงดันอาร์เมเจอร์ร่วมกับการควบคุมสนามแม่เหล็ก การควบคุมแรงดันอาร์เมเจอร์ จะมีข้อดีในการรักษาแรงบิดสูงสุดที่มอเตอร์สามารถทำได้ในทุก ๆ ความเร็ว และการควบคุมแบบการควบคุมสนามแม่เหล็ก จะใช้ควบคุมความเร็วที่สูงกว่า ซึ่งไม่สามารถใช้การควบคุมแรงดันอาร์เมเจอร์ได้ เพราะเราไม่สามารถเพิ่มแรงดันอาร์เมเจอร์ให้สูงกว่าพิกัดได้ ดังนั้นจึงใช้การควบคุมสนามแม่เหล็ก ซึ่งในช่วงนี้มอเตอร์จะมีแรงบิดที่ลดลงเมื่อความเร็วเพิ่มมากขึ้น

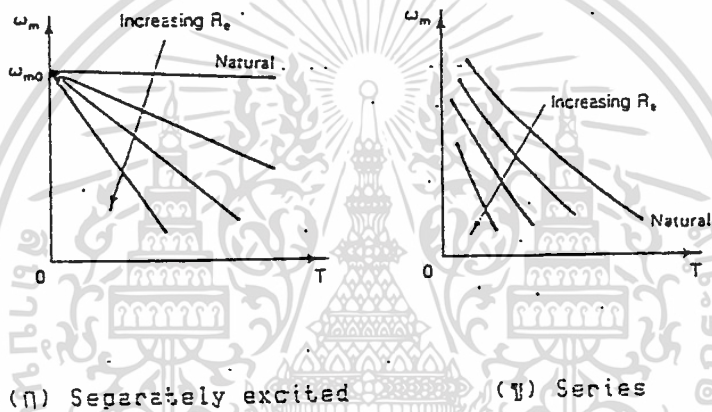


รูปที่ 6.2 แสดงพิกัดของแรงบิดและกำลังในการควบคุมแรงดันอาร์เมเจอร์ร่วมกับการปรับสนามแม่เหล็ก

เอกสารนี้เป็นเอกสารที่สงวนไว้สำหรับการใช้งานเพื่อการศึกษาเท่านั้น ไม่อนุญาตให้นำไปใช้ประโยชน์ด้านการค้าไม่ว่ากรณีใดๆ ทั้งสิ้น อีกทั้งห้ามมิให้ตัดแปลงเนื้อหา และต้องอ้างอิงถึงเจ้าของเอกสารทุกครั้งที่มีการนำไปใช้

### 6.3 การควบคุมความต้านที่ขดลวดอาร์เมเจอร์

ความสัมพันธ์ของความเร็วและแรงบิดของมอเตอร์แบบแยกขดลวดกระตุ้นและแบบซีรีย์ เมื่อปรับความต้านทานภายนอกซึ่งต่ออนุกรมกับขดลวดอาร์เมเจอร์แสดงดังรูปที่ 6.3



รูปที่ 6.3 แสดงความสัมพันธ์ระหว่างความเร็ว-แรงบิด ของมอเตอร์กระแสตรงที่ควบคุมโดยวิธีการปรับความต้านทานที่อนุกรมกับขดลวดอาร์เมเจอร์

## บทที่ 7

### แบตเตอรี่

#### 7.1 บทนำ

แบตเตอรี่เป็นอุปกรณ์ที่ใช้กันอย่างกว้างขวางแต่เรามักมองไม่เห็นความสำคัญ ในรถยนต์ แบตเตอรี่ถือว่าเป็นหัวใจของระบบไฟฟ้า เป็นแหล่งกำเนิดพลังงานในการหมุนให้เครื่องยนต์ติดได้ หลักการทำงานของแบตเตอรี่กล่าวโดยง่าย ๆ คือ การเปลี่ยนพลังงานเคมีให้เป็นพลังงานไฟฟ้าเมื่อเครื่องยนต์ทำงานแล้ว เครื่องกำเนิดไฟฟ้าจะเปลี่ยนพลังงานกลที่เหลือเป็นพลังงานไฟฟ้าแล้วมาเก็บไว้ในแบตเตอรี่ในรูปของพลังงานเคมีไว้ใช้ต่อไป

#### 7.2 ปฏิริยาเคมี

ปฏิริยาเคมีที่เกิดขึ้นในแบตเตอรี่กล่าวพอสังเขปซึ่งสรุปได้ดังนี้

ในแบตเตอรี่ จะมีแผ่นบวกทำด้วยตะกั่วเปอร์ออกไซด์ ( $PbO_2$ ) มีสีน้ำตาลแผ่นลบทำด้วยตะกั่วพูน ( $Pb$ ) มีสีเทา น้ำยาเคมีที่ใช้เป็นกรดกำมะถัน ( $H_2SO_4$ )

ขณะที่จ่ายไฟจะมีปฏิริยาเกิดขึ้นดังนี้

- ออกซิเจนจากตะกั่วเปอร์ออกไซด์ จะรวมตัวกับไฮโดรเจน จากกรดกำมะถันกลายเป็นน้ำ
- ตะกั่วจากตะกั่วเปอร์ออกไซด์จะรวมตัวกับอนุมูลซัลเฟต ( $SO_4$ ) กลายเป็นตะกั่วซัลเฟต ( $PbSO_4$ )

ปฏิริยานี้เกิดขึ้นทั้งที่แผ่นบวกและลบ เมื่อเกิดปฏิริยาแล้วจะทำให้เกิดตะกั่วซัลเฟต ทั้งสองแผ่นและน้ำ ที่เกิดขึ้นนี้จะเจือจางกรดกำมะถัน ฉะนั้นเมื่อเกิดปฏิริยาไปนาน ๆ กระแสไฟฟ้าที่ได้จะลดลงเรื่อย ๆ

ขณะที่อัดไฟจะเกิดปฏิริยาตรงกันข้ามกับตอนจ่ายไฟคือตะกั่วซัลเฟต จะแตกตัวออกเป็นตะกั่วและอนุมูลซัลเฟต ที่แผ่นทั้งสอง น้ำจะแตกตัวเป็นไฮโดรเจนกับออกซิเจน โดยที่ไฮโดรเจนจะจับตัวกับอนุมูลซัลเฟตเป็นกรดกำมะถัน และออกซิเจนจะจับตัวกับตะกั่วเป็นตะกั่วเปอร์ออกไซด์

#### 7.3 ขนาดความจุของแบตเตอรี่ (Capacity)

ขนาดความจุของแบตเตอรี่ แสดงเป็นแอมแปร์-ชั่วโมง (Ampere-hour) หรือ Ah ซึ่งหมายถึงปริมาณไฟฟ้าที่แบตเตอรี่สามารถจ่ายออกมาได้ ภายใต้อุณหภูมิ กระแส และแรงดันที่กำหนด ขนาดของแรงดันของแต่ละเซลล์ในแบตเตอรี่เมื่อวงจรเปิดและอัตราไฟเต็มที่จะมีค่าเท่ากับ

2.1 โวลต์ ทั้งนี้ขึ้นอยู่กับจำนวนแผ่นบวกและลบที่มีอยู่ในเซลล์นั้น ส่วนขนาดของกระแสไฟฟ้าที่จะได้ขึ้นอยู่กับจำนวนและแผ่นบวกและลบ รวมทั้งปริมาณของกรดกำมะถันด้วย โดยประมาณแล้วขนาดความจุของแบตเตอรี่จะแปรตามพื้นที่ของแผ่นบวกและลบ ถ้าพื้นที่มากก็จะมีปริมาณความจุของแบตเตอรี่ที่ผลิตขึ้นจึงพยายามทำแผ่นเหล่านี้ให้บาง ๆ เพื่อ จะได้มีพื้นที่มาก ๆ

วิธีวัดขนาดความจุของแบตเตอรี่ได้มีการตั้งมาตรฐาน โดยวัดอัตราการจ่ายไฟต่อ 20 ชั่วโมง ซึ่งวัดกระแสไฟฟ้าที่จ่ายออกมาจากแบตเตอรี่ที่อัดไฟเต็มที่แล้วเป็นเวลา 20 ชั่วโมง จุดสิ้นสุดในการใช้งานของแบตเตอรี่ จะถูกกำหนดกำหนดด้วยระดับแรงดันสุดท้าย สำหรับแบตเตอรี่ชนิดตะกั่ว-กรด แรงดัน 12 V ระดับแรงดันสุดท้ายจะเท่ากับ 1.75 V/Cell

#### 7.4 แรงดันแบตเตอรี่ ( Battery Voltage )

แรงดันแบตเตอรี่เป็นค่าความต่างศักย์ระหว่างขั้วของแบตเตอรี่ ค่าแรงดันไฟฟ้าที่ขั้วที่สภาพไร้โหลด ( แบตเตอรี่เปิดวงจร ) จะเป็นฟังก์ชันของการเกิดประจุของแบตเตอรี่แต่ขณะที่มีโหลด แรงดันไฟฟ้าที่ขั้วจะเป็นฟังก์ชันของกระแสโหลด การเปลี่ยนแปลงระดับแรงดันของแบตเตอรี่ จะมีผลต่อการควบคุมความเร็วของรถไฟฟ้ามาก

#### 7.5 ความต้านทานภายในของแบตเตอรี่ ( Battery Internal Impedance )

ค่าความต้านทานภายในของแบตเตอรี่ จะมีผลต่อการเปลี่ยนแปลงระดับแรงดันไฟฟ้าที่ขั้วของแบตเตอรี่ ขณะที่ไม่มีโหลด ค่าความต้านทานภายในของแบตเตอรี่ เกิดจากปรากฏการณ์ทางเคมีที่เกิดขึ้นภายในแบตเตอรี่ ในขณะที่เกิดการถ่ายเทประจุไฟฟ้าเช่นปรากฏการณ์โพลาไรเซชันซึ่งจะทำให้เกิดประจุไฟฟ้าใกล้ ๆ ผิว ของแผ่นขั้วอิเล็กโตรด ซึ่งจะทำให้กระแสไฟฟ้าที่เกิดจากการไหลของไอออนระหว่างแผ่นขั้วอิเล็กโตรดมีค่าลดลง ดังนั้นปรากฏการณ์นี้จึงเสมือนว่าค่าความต้านทานภายในของแบตเตอรี่นั่นเอง

#### 7.6 คุณสมบัติของอุณหภูมิ ( Temperature Characteristics )

อุณหภูมิห้องและอุณหภูมิที่เพิ่มขึ้นในตัวแบตเตอรี่จะมีผลต่อการทำงาน และขนาดความจุของแบตเตอรี่มาก เนื่องจากอุณหภูมิมิผลต่อความต้านทานของน้ำยาอิเล็กโตรไลต์

ประสิทธิภาพของแบตเตอรี่ขึ้นอยู่กับอุณหภูมิเช่นกันกล่าวคือเมื่ออุณหภูมิต่ำจะทำให้ปฏิกิริยาทางเคมีเกิดขึ้นได้ช้าทำให้พลังงานที่ได้นั้นลดลง เราจะพิจารณาตารางที่ 7.1 ซึ่งแสดงถึงประสิทธิภาพเมื่อคิดเป็น % ของขนาดของความจุของแบตเตอรี่เมื่อเปรียบเทียบกับที่อุณหภูมิต่าง ๆ

เอกสารนี้เป็นเอกสารที่สงวนไว้สำหรับกรใช้งานเพื่อการศึกษาเท่านั้น ไม่อนุญาตให้นำไปใช้ประโยชน์ด้านการค้าไม่ว่ากรณีใดๆ ทั้งสิ้น อีกทั้งห้ามมิให้ดัดแปลงเนื้อหา และต้องอ้างอิงถึงเจ้าของเอกสารทุกครั้งที่มีการนำไปใช้

ตารางที่ 7.1 เปรียบเทียบขนาดความจุของแบตเตอรี่ชนิดตะกั่ว-กรด ที่อุณหภูมิปกติและที่ต่ำกว่าปกติ

Relative Capacity of Lead - Acid Storage Batteries at Normal and Low Temperatures			
Temperatures		Percentage of Capacity at 80° F 20 Hr Rate	
°C	°F	20 Hr Rate	20 Min Rate
27	80	100	46
15	60	90	39
4	40	77	31
-7	20	68	24
-18	0	49	19
-29	-20	35	9
-40	-40	21	1
-51	-60	9	.....

จากการศึกษาพบว่าขนาดความจุของแบตเตอรี่มีความสัมพันธ์เป็นเส้นตรง (Linear function) กับอุณหภูมิ เมื่ออุณหภูมิเพิ่มขึ้น 1 องศาขนาดความจุเพิ่มเป็น 1% ของความจุที่ 15°C จากตารางทำให้ทราบว่าอุณหภูมิที่เหมาะสมที่สุดสำหรับการใช้งานของแบตเตอรี่ชนิดตะกั่ว-กรด คือประมาณ 26.7 °C หรือ 80 °F

#### 7.7 คุณสมบัติของการอัดไฟ ( Charge Characteristics )

ในการอัดไฟเข้าแบตเตอรี่นั้น สิ่งที่ต้องคำนึงถึงมากที่สุดคือปริมาณก๊าซไฮโดรเจนที่เกิดขึ้น เนื่องจากก๊าซไฮโดรเจนที่เกิดขึ้นเป็นก๊าซไวไฟ ดังนั้นจึงต้องมีระบบระบายก๊าซที่เกิดขึ้นให้ดี ในการอัดไฟที่กระแสสูง ก็ยังทำให้เกิดความร้อนสูงเป็นผลทำให้เกิดก๊าซมากขึ้นด้วยความร้อนที่เกิดขึ้น ในช่วงระหว่างการอัดไฟไม่ควรเกิน 55 °C

วิธีการอัดไฟมี 4 วิธีคือ

1. การอัดไฟด้วยกระแสคงที่ ( Charging With Constant Current )
2. การอัดไฟด้วยกระแสเป็นช่วง ๆ ( Charging With intermittent Constant Current )

เอกสารนี้เป็นเอกสารที่สงวนไว้สำหรับการใช้งานเพื่อการศึกษาเท่านั้น ไม่อนุญาตให้นำไปใช้ประโยชน์ด้านการค้า ไม่ว่าจะกรณีใดๆ ทั้งสิ้น อีกทั้งห้ามมิให้ดัดแปลงเนื้อหา และต้องอ้างอิงถึงเจ้าของเอกสารทุกครั้งที่มีการนำไปใช้

3. การอัดไฟด้วยแรงดันคงที่และจำกัดกระแส ( Charging With Constant Voltage and Current Limitation )
4. การอัดไฟด้วยกระแสไม่คงที่ ( Charging With Tapered Current )

#### 7.8 คุณสมบัติในการจ่ายไฟ ( Discharge Characteristic )

ขณะที่การใช้กำลังเพิ่มมากขึ้นพลังงานที่เก็บสะสมไว้ในแบตเตอรี่ก็จะค่อย ๆ ลดลงตามไปด้วย การที่พลังงานเหล่านี้ลดลงเนื่องจากการลดลงของระดับแรงดันที่ขั้วแบตเตอรี่ ซึ่งเกิดจากการเพิ่มของกระแสไหลด ประจุในตัวของแบตเตอรี่ก็จะค่อย ๆ ลดลง

